

Physiopathologie du Syndrome Hépatorénal



Dr B. Ponte
Cheffe de clinique
Service de Néphrologie

Plan

Introduction

Physiopathologie du SHR

- ✓ Modifications hémodynamiques
 - ✓ Vasodilatation splanchnique
 - ✓ Rôle du NO
- ✓ Dysfonction cardiaque
- ✓ Rôle de l'albumine
- ✓ Éléments déclenchants

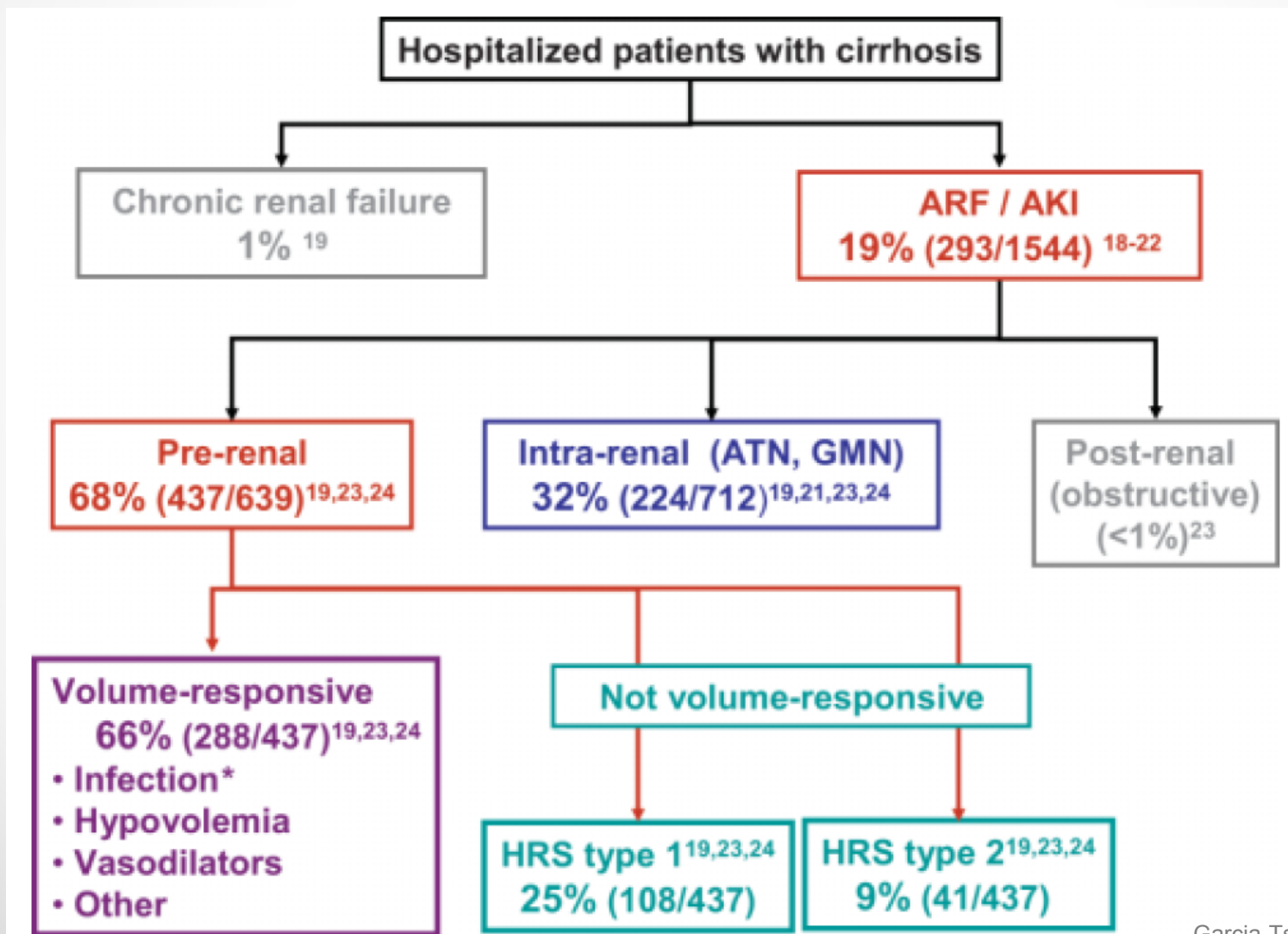
Conclusions



Insuffisance rénale et cirrhose

- ✓ La dysfonction rénale est un facteur pronostic majeur dans la cirrhose (MELD score)
- ✓ Insuffisance rénale survient chez 75% des cirrhotiques durant l'évolution de la maladie hépatique
- ✓ Certaines atteintes rénales sont liées spécifiquement à la maladie hépatique:
 - glomérulonéphrite sur HBV, HCV, cryoglobuline, IgA, SHR type 2

Insuffisance rénale aiguë





Définition SHR

New diagnostic hepatorenal syndrome criteria in cirrhosis

- ▶ Cirrhosis with ascites.
- ▶ Serum creatinine $> 133 \mu\text{mol/l}$ (1.5 mg/dl).
- ▶ No improvement of serum creatinine (decrease to a level of $\leq 133 \mu\text{mol/l}$) after at least 2 days with diuretic withdrawal and volume expansion with albumin. The recommended dose of albumin is 1 g/kg of body weight per day up to a maximum of 100 g/day.
- ▶ Absence of shock.
- ▶ No current or recent treatment with nephrotoxic drugs.
- ▶ Absence of parenchymal kidney disease as indicated by proteinuria $> 500 \text{ mg/day}$, microhaematuria (> 50 red blood cells per high power field) and/or abnormal renal ultrasonography.



Pathophysiologie du SHR

The New England Journal of Medicine

Copyright, 1969, by the Massachusetts Medical Society

Volume 280

JUNE 19, 1969

Number 25

TRANSPLANTATION OF CADAVERIC KIDNEYS FROM PATIENTS WITH HEPATORENAL SYNDROME*

Evidence for the Functional Nature of Renal Failure in Advanced Liver Disease

MARCELO H. KOPPEL, M.D., JACK W. COBURN, M.D., MATLOCK M. MIMS, M.D.,
HOWARD GOLDSTEIN, M.D., JAMES D. BOYLE, M.D., AND MILTON E. RUBINI, M.D.

Abstract A kidney from each of five patients and both kidneys from a sixth patient dying with the hepatorenal syndrome (severe hepatic failure, oliguria, azotemia, hyponatremia and a urinary sodium of less than 5 mEq per day) were transplanted into seven patients with end-stage kidney disease whose liver function was normal. Diuresis and improvement of

renal function occurred in all but one recipient. Because of postoperative complications, two kidneys were removed after diuresis had occurred. Four transplanted kidneys achieved stable function for six months or longer, with creatinine clearances of 25, 42, 50 and 52 ml per minute. The hepatorenal syndrome is functional and potentially reversible.

The New England Journal of Medicine

©Copyright. 1973. by the Massachusetts Medical Society

Volume 289

NOVEMBER 29, 1973

Number 22

RECOVERY FROM "HEPATORENAL SYNDROME" AFTER ORTHOTOPIC LIVER TRANSPLANTATION

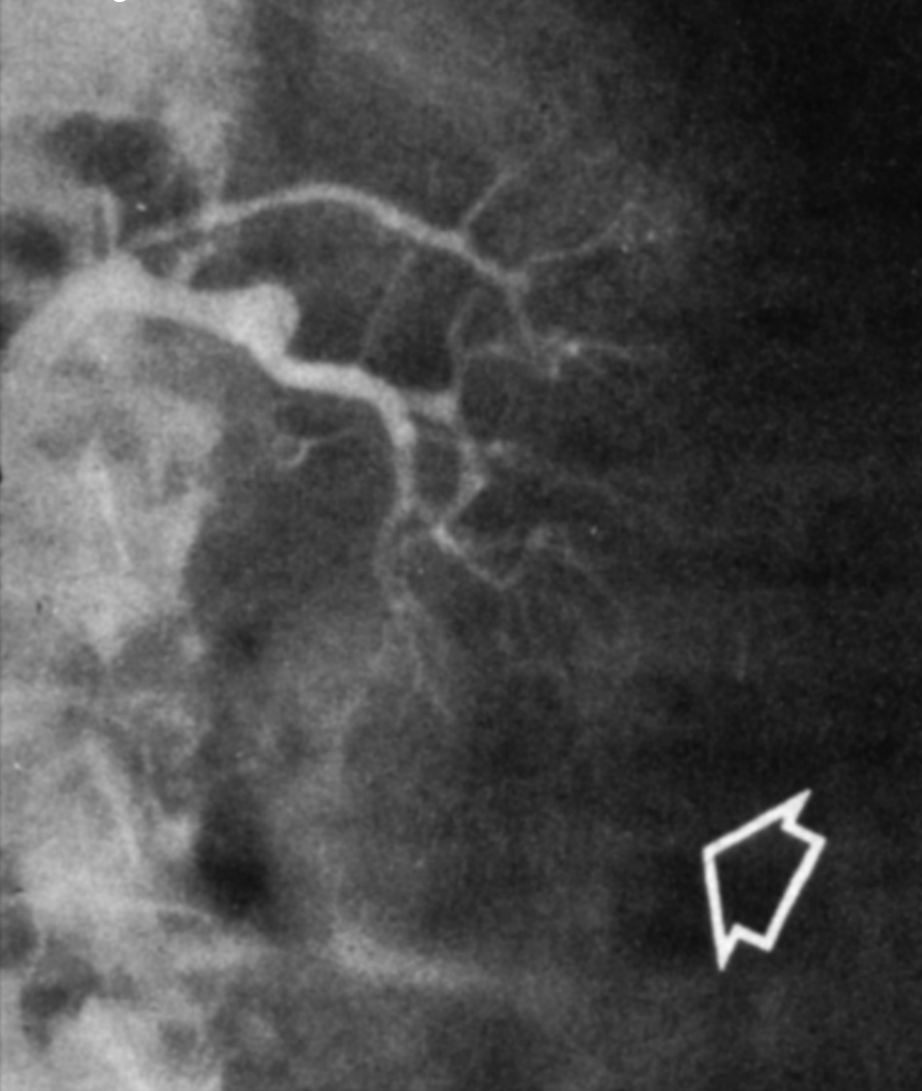
SHUNZABURO IWATSUKI, M.D., MORDECAI M. POPOVTZER, M.D., JACQUES L. CORMAN, M.D.,
MAKOTO ISHIKAWA, M.D., CHARLES W. PUTNAM, M.D., FRED H. KATZ, M.D., AND
THOMAS E. STARZL, M.D., PH.D.

Abstract Three patients with progressive renal failure and advanced hepatic insufficiency due to cirrhosis of the liver underwent orthotopic liver transplantation. All three patients had immediate improvement in hepatic function and within two weeks after liver replacement regained nearly normal kidney function. However, the

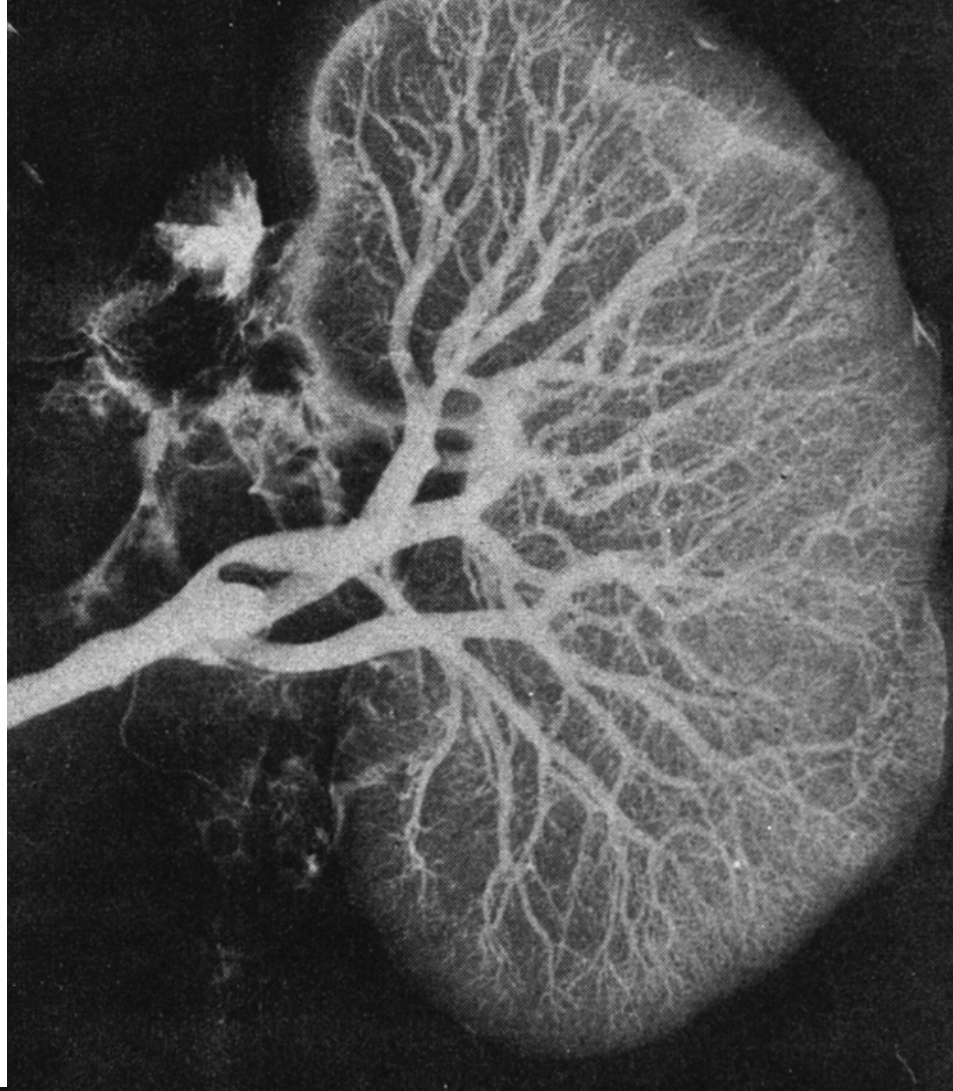
renal recovery was delayed in each case, and its course was not uniform. Plasma renin activity was high, and renin substrate was low before transplantation in one case in which these measurements were obtained; both returned to normal soon after liver replacement. (N Engl J Med 289:1155-1159, 1973)

Atteinte rénale fonctionnelle et réversible

Injection de xenon



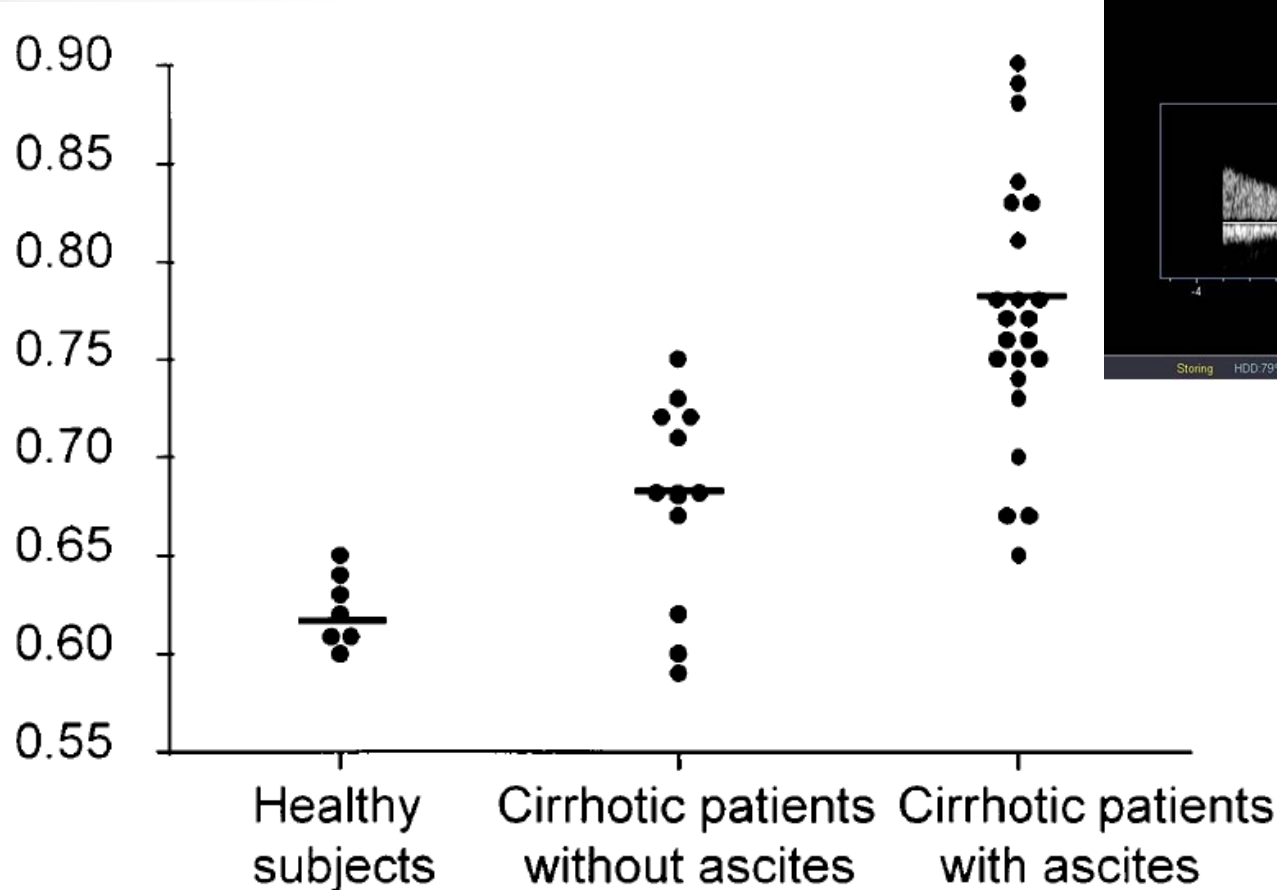
Post-mortem



Vasoconstriction rénale

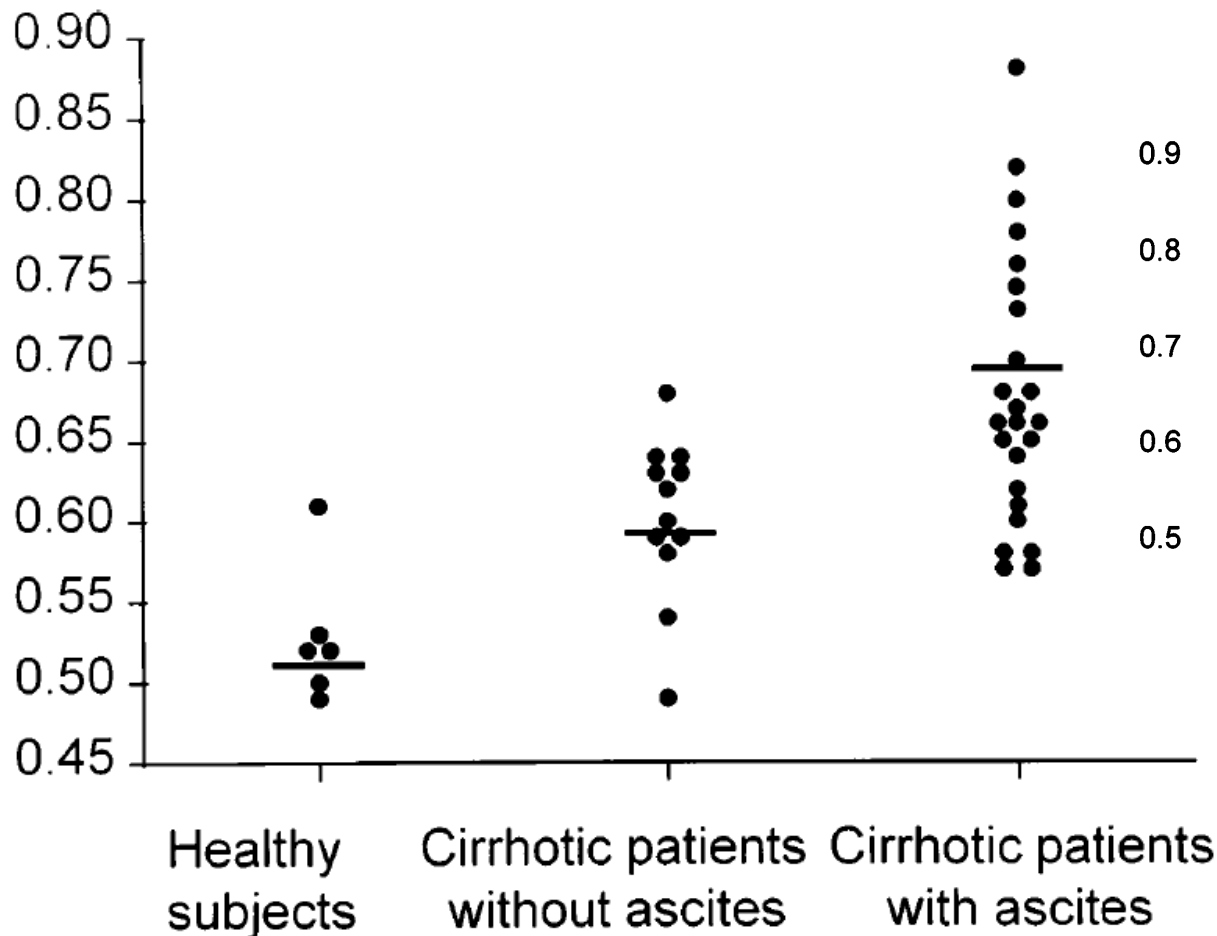
Vasoconstriction rénale

IR rénaux ↑ selon stade de la cirrhose

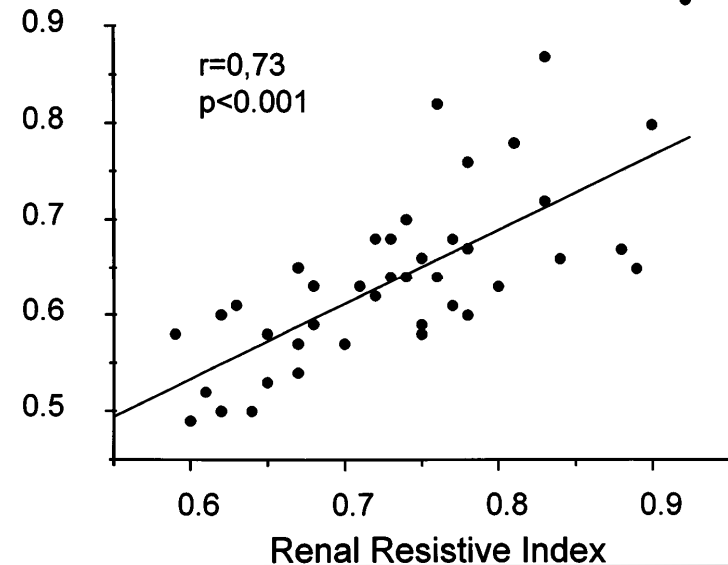


Vasoconstriction cérébrale

Index de résistance a. cérébrale moy ↑ selon stade de la cirrhose



Corrélé à IR rénal



SHR: atteinte multi-organique

Avec le SHR on note une défaillance multi-organique:

- ✓ le foie → insuffisance hépatique sévère
- ✓ le rein → insuffisance rénale aigüe sévère
- ✓ le cerveau → encéphalopathie
- ✓ le système vasculaire → hypotension artérielle
- ✓ le cœur → cardiomyopathie
- ✓ les surrénales → insuffisance surrénalienne?

Explication hémodynamique à tout cela?

✓ Modifications hémodynamiques

- ↑ résistance au flux veineux porte et hypertension portale
- Etat hyperdynamique:
 - Augmentation débit cardiaque
 - Baisse de la pression artérielle moyenne
 - Baisse de la résistance périphérique totale
- Vasoconstriction dans les territoires cutanées, cérébraux, musculaires, foie, rein.

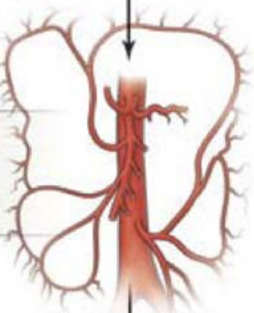
→ vasoconstriction systémique

Compensated Cirrhosis

Increased intrahepatic vascular resistance
Moderate portal hypertension



Splanchnic arterial vasodilatation



Low effective arterial blood volume



Increased cardiac output

Increased plasma volume



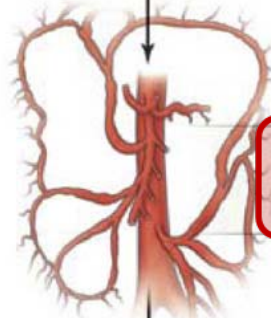
Restoration of effective arterial blood volume

Decompensated Cirrhosis

Disease progression
Severe portal hypertension
Bacterial translocation



Severe splanchnic arterial vasodilatation



Markedly reduced effective arterial blood volume
Increased cardiac output and plasma volume insufficient to normalize effective arterial blood volume
Activation of sodium-retaining and vasoconstrictor systems



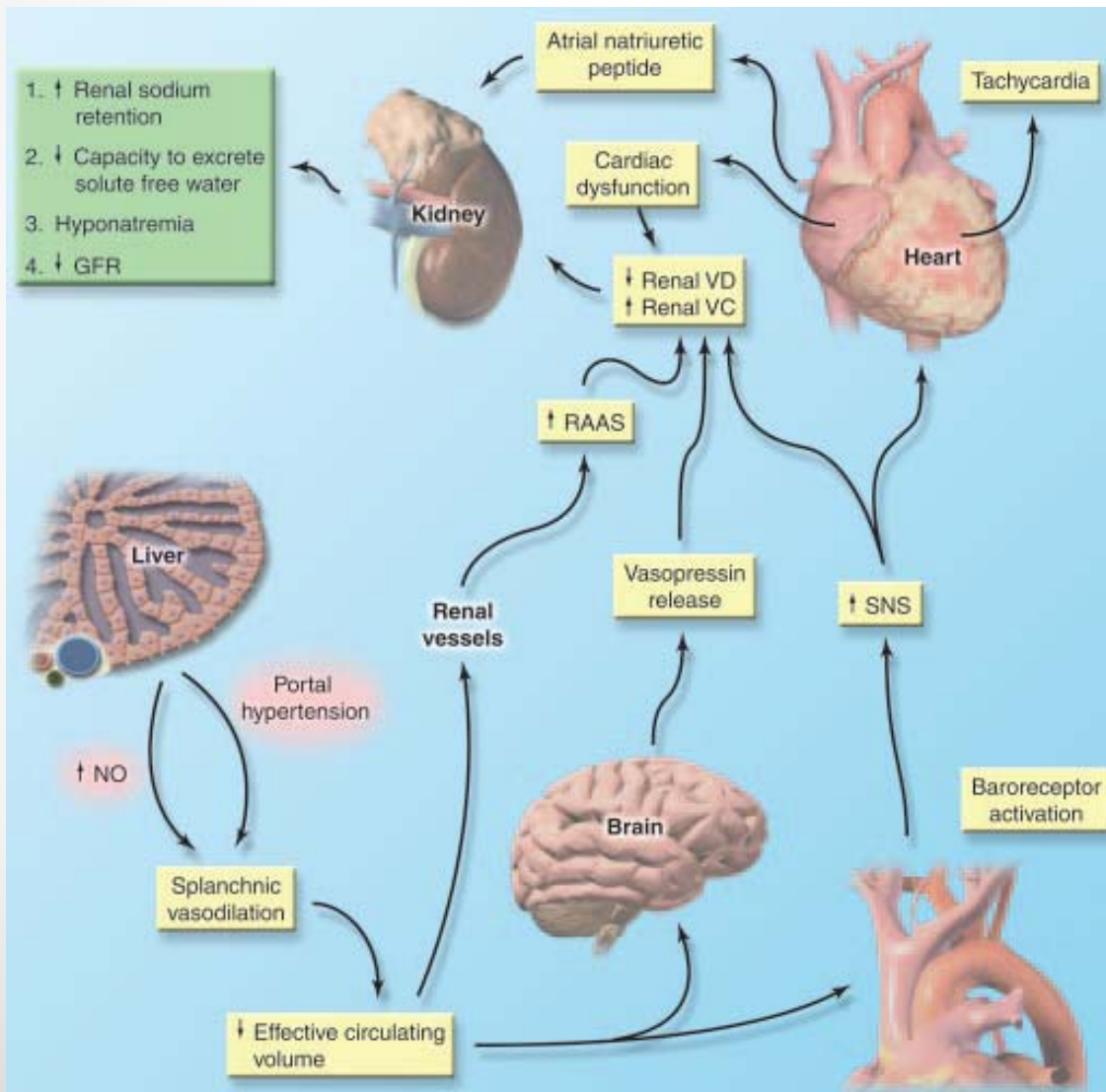
Sodium and water retention and ascites formation



Further activation of vasoconstrictor systems
Impairment in cardiac output

Renal failure

Vasodilatation splanchnique



↓ volume circulant



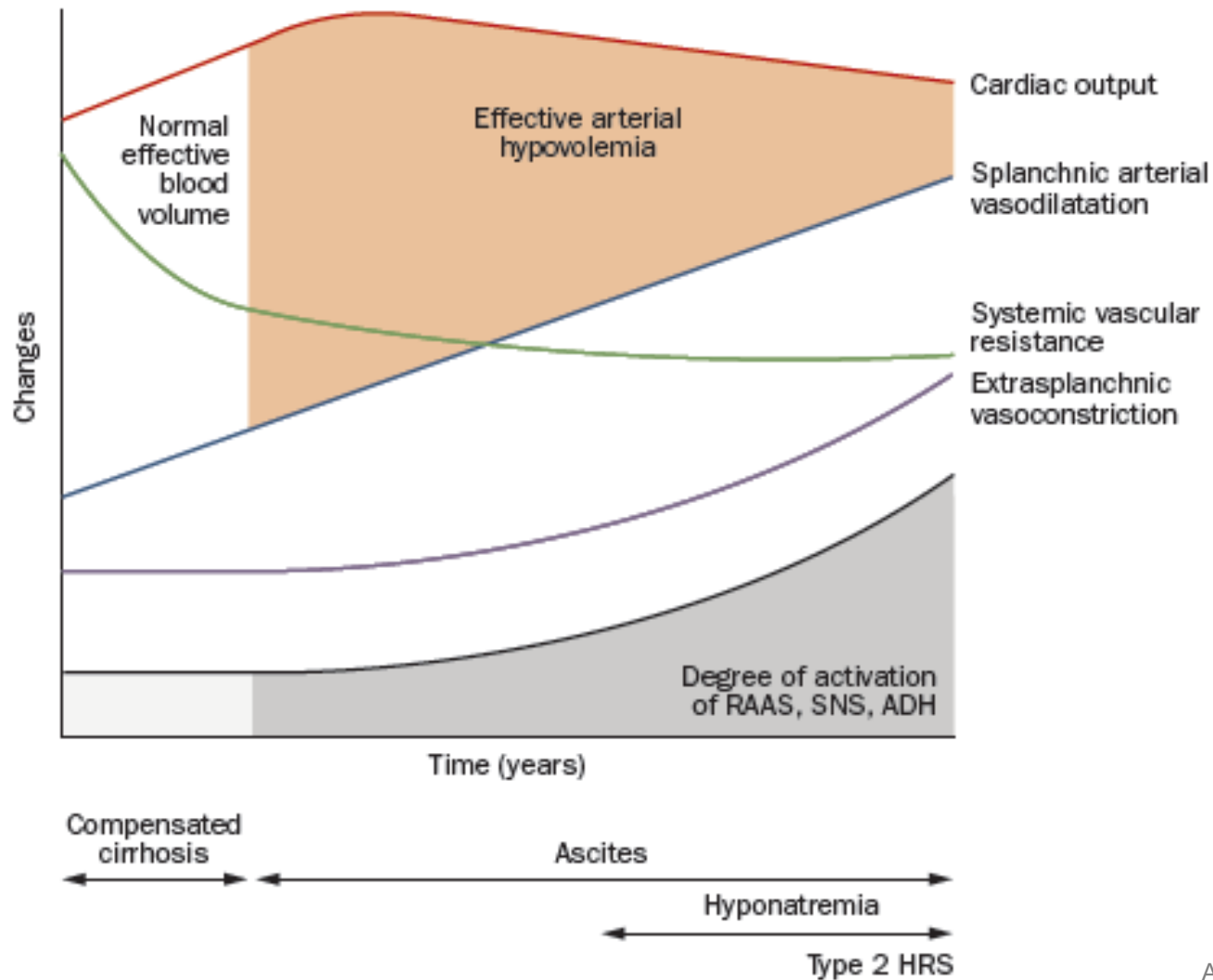
Activation systèmes

- ✓RAA
- ✓ADH
- ✓SNS
- ✓ANP



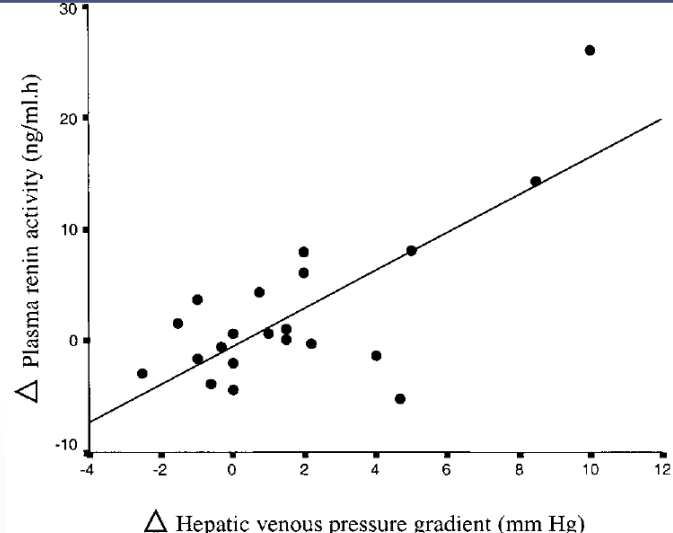
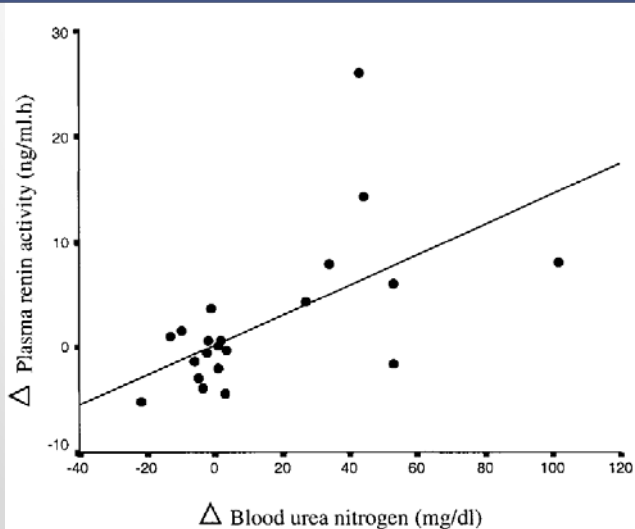
Effets rénaux

Vasodilatation splanchnique



Activation rénine dans cirrhose avec IRA

	Renal Failure Group (n = 8)			Group Without Renal Failure (n = 15)		
	At Diagnosis of Infection	Following Resolution of Infection	<i>P</i>	At Diagnosis of Infection	Following Resolution of Infection	<i>P</i>
Hematocrit (%)	32.2 ± 2.7	31.1 ± 1.9	NS	30.0 ± 6.8	30.2 ± 3.7	NS
Serum bilirubin (mg/dL)	5.0 ± 5.0	6.6 ± 7.8	NS	3.6 ± 3.0	3.1 ± 3.2	NS
Serum albumin (g/L)	25.0 ± 2.0	22.4 ± 2.4	NS	27.3 ± 7.0	28.4 ± 6.5	NS
Prothrombin time (%)	57 ± 20	43 ± 14*	<.02	57 ± 16	67 ± 19	NS
Child-Pugh score (points)	10.2 ± 1.2	11.7 ± 1.6*	<.01	9.5 ± 1.5	9.0 ± 1.5	NS
BUN (mg/dL)	37.4 ± 9.5†	81.2 ± 25.2*	<.02	19.0 ± 9.0	15.6 ± 5.5	NS
Serum creatinine (mg/dL)	1.3 ± 0.6	2.5 ± 0.4*	<.02	1.0 ± 0.3	0.9 ± 0.2	NS
Serum sodium (mmol/L)	132 ± 3.2	127 ± 2.2*	NS	135 ± 4.0	136 ± 3.9	NS
PRA (ng/mL · h)	18.4 ± 11.2†	28.3 ± 12.4*	<.02	3.9 ± 3.6	2.8 ± 3.6	NS
Plasma ALDO (ng/dL)	149.5 ± 106.8†	251.7 ± 156.7*	<.02	27.6 ± 10.9	20.0 ± 19.5	NS
Plasma NE (pg/mL)	797.3 ± 226.6†	1290.5 ± 415.3*	<.02	315.7 ± 172.8	317.0 ± 195.3	NS



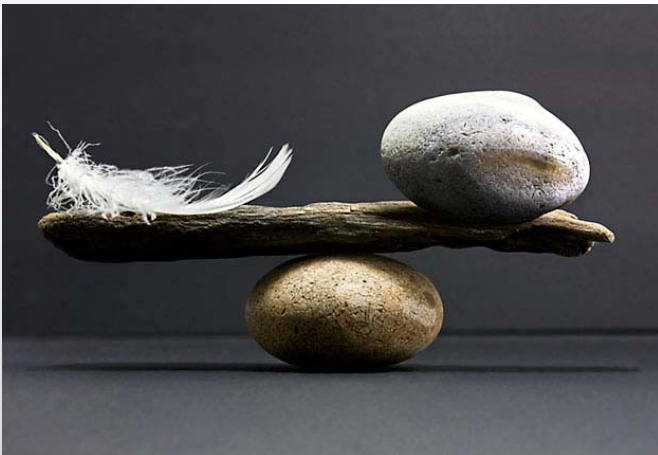
SHR: déséquilibre vasodilatation-vasoconstriction ?

Vasoconstricteurs

- ✓ RAA
- ✓ SNS
- ✓ AVP
- ✓ Endothélines
- ✓ Adénosine

Vasodilatateurs

- ✓ Prostaglandines
- ✓ Facteurs natriurétiques
- ✓ NO
- ✓ Glucagon
- ✓ CO
- ✓ Système kinine-kallikréine
- ✓ Endocannabinoïdes



Vasodilatation splanchnique: facteurs impliqués

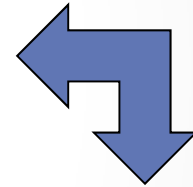
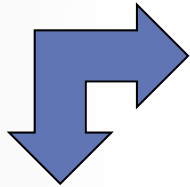
↑ vasodilatateurs circulants - locaux

• **NO**

• Prostacyclines

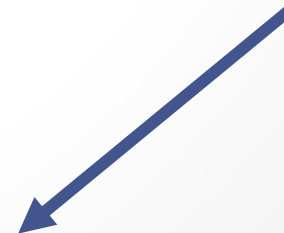
• Glucagon

• Endocannabinoïdes



Résistance aux vasoconstricteurs endogènes

Réponse excessive aux vasodilatateurs



Vasodilatation artérielle splanchnique

Rôle du nitride oxyde (NO):

Evidences expérimentales

Reversal of impaired pressor response to vasoconstrictors in isolated aortic rings or splanchnic vascular preparations by inhibition of nitric oxide synthase³³⁻³⁶

Enhanced vasodilator response to nitric oxide–dependent vasodilators³⁷

Increased pressor effect of systemic inhibition of nitric oxide synthase³⁸⁻⁴¹

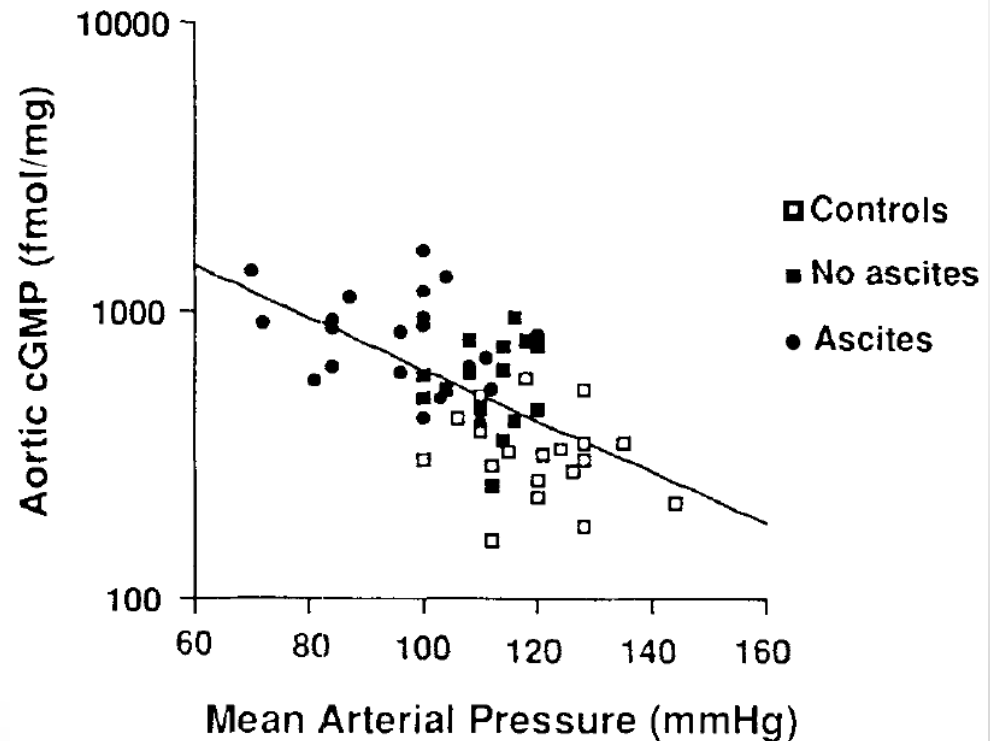
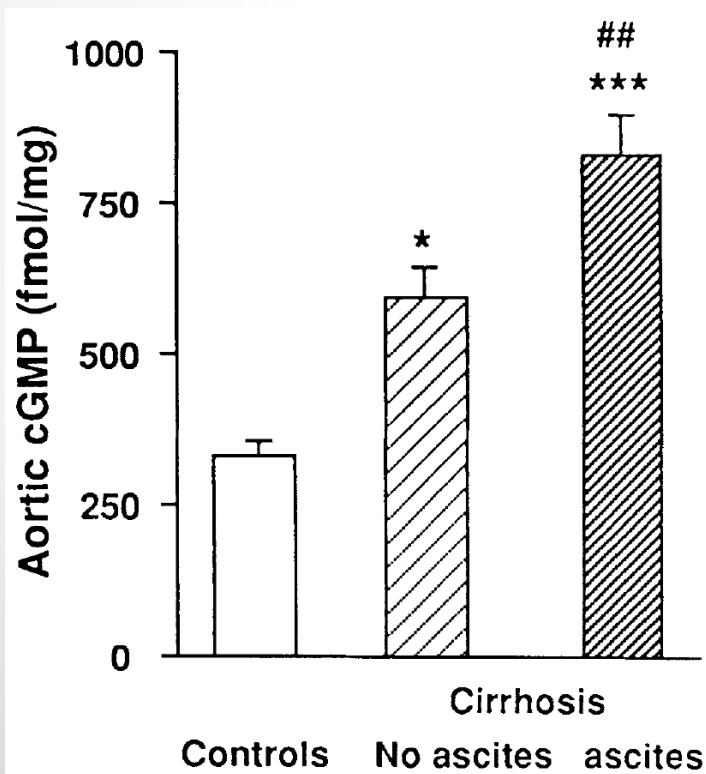
Increased nitric oxide synthesis in vascular tissue⁴²⁻⁴⁶

Normalization of hyperdynamic circulation by long-term inhibition of nitric oxide synthase⁴⁷

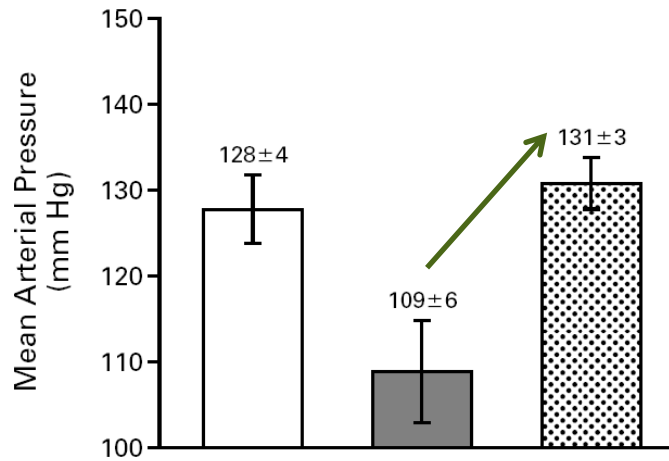
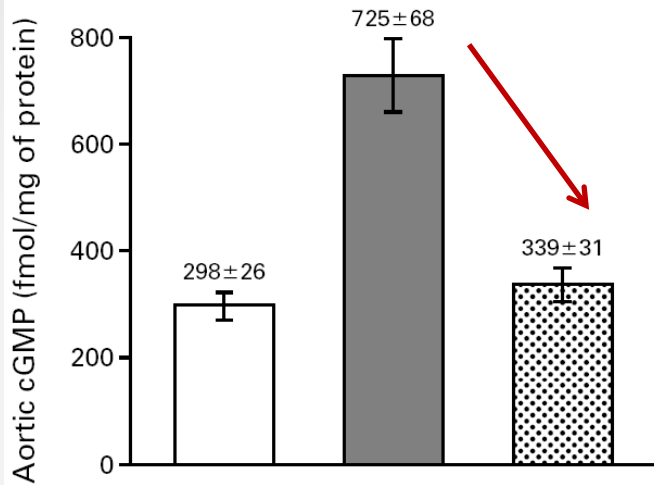
Increased expression of nitric oxide synthase in vascular tissue^{45,46,48,49}

NO et vasodilatation systémique

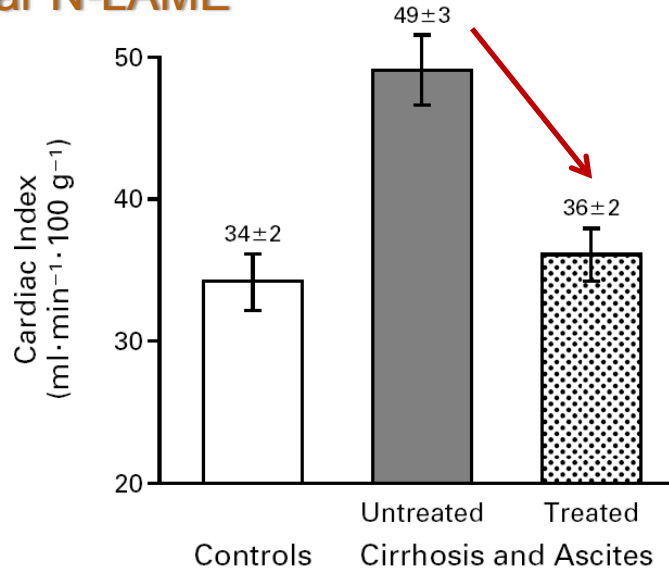
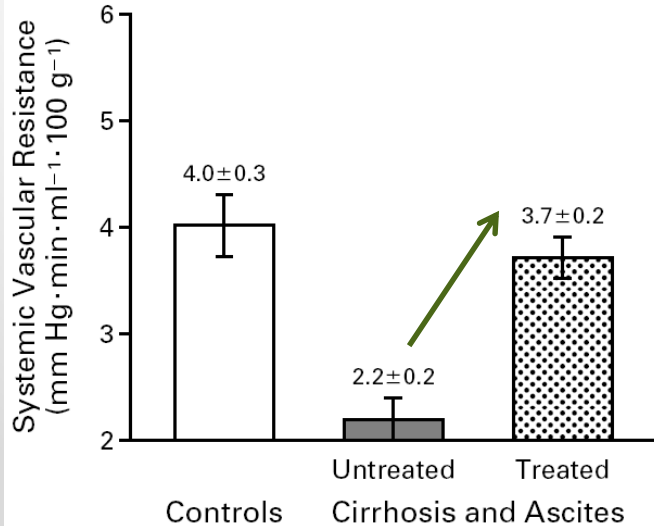
Chez le rat: \uparrow cGMP (2^{ème} messager NO) dans cirrhose
corrélation à PAM et vasodilatation systémique



Inhibition NO réverse vasodilatation

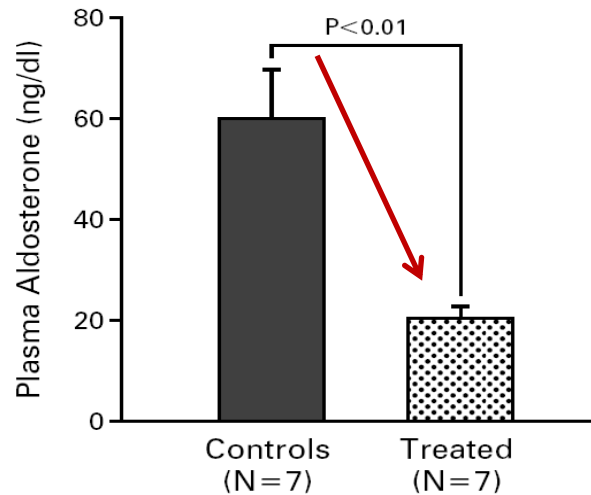
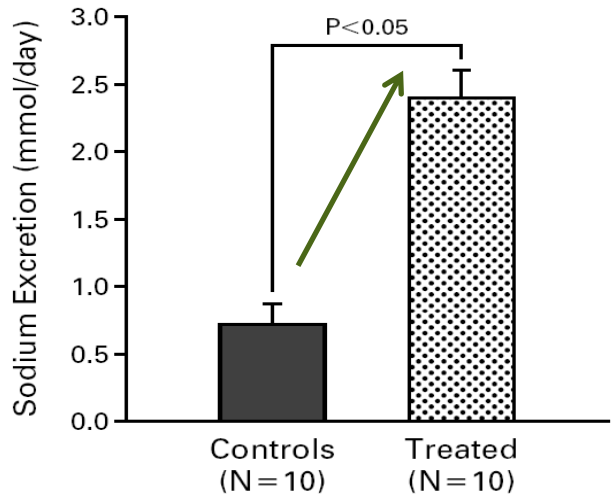


Inhibition NO synthase par N-LAME

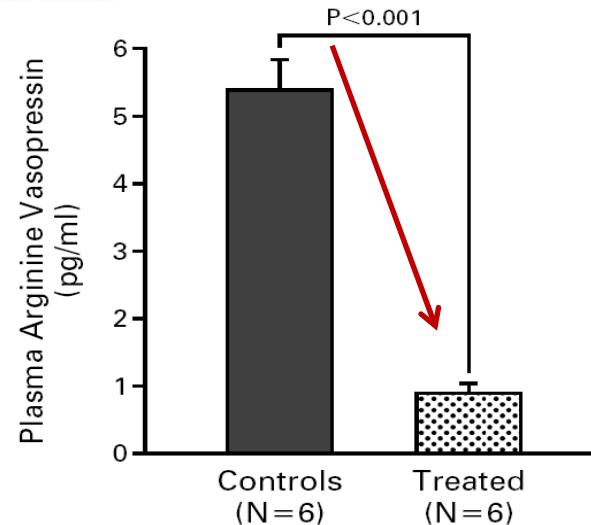
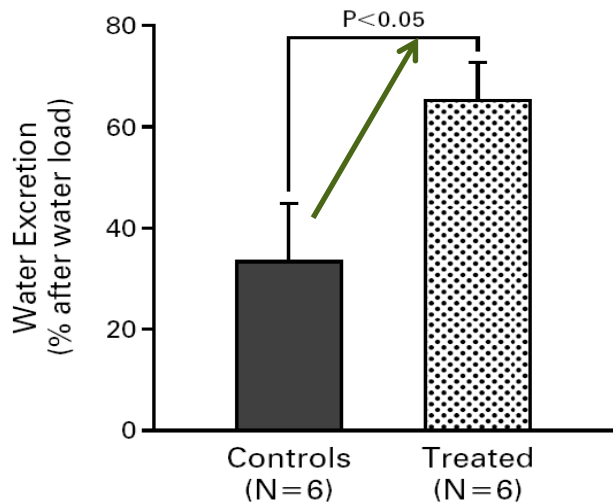


- ↑ PAM
- ↑ R vasculaires syst
- ↓ cGMP
- ↓ Index cardiaque

Inhibition NO: effet sur le sel et l'eau



Inhibition NO synthase par N-LAME



- ↑ Excrétion Na_u
- ↑ Excrétion H_2O
- ↓ Aldostérone
- ↓ ADH

Rôle du nitride oxyde (NO):

Evidence chez l'Homme

Correction of arterial hyporesponsiveness to vasoconstrictors by inhibition of nitric oxide synthase⁶⁵

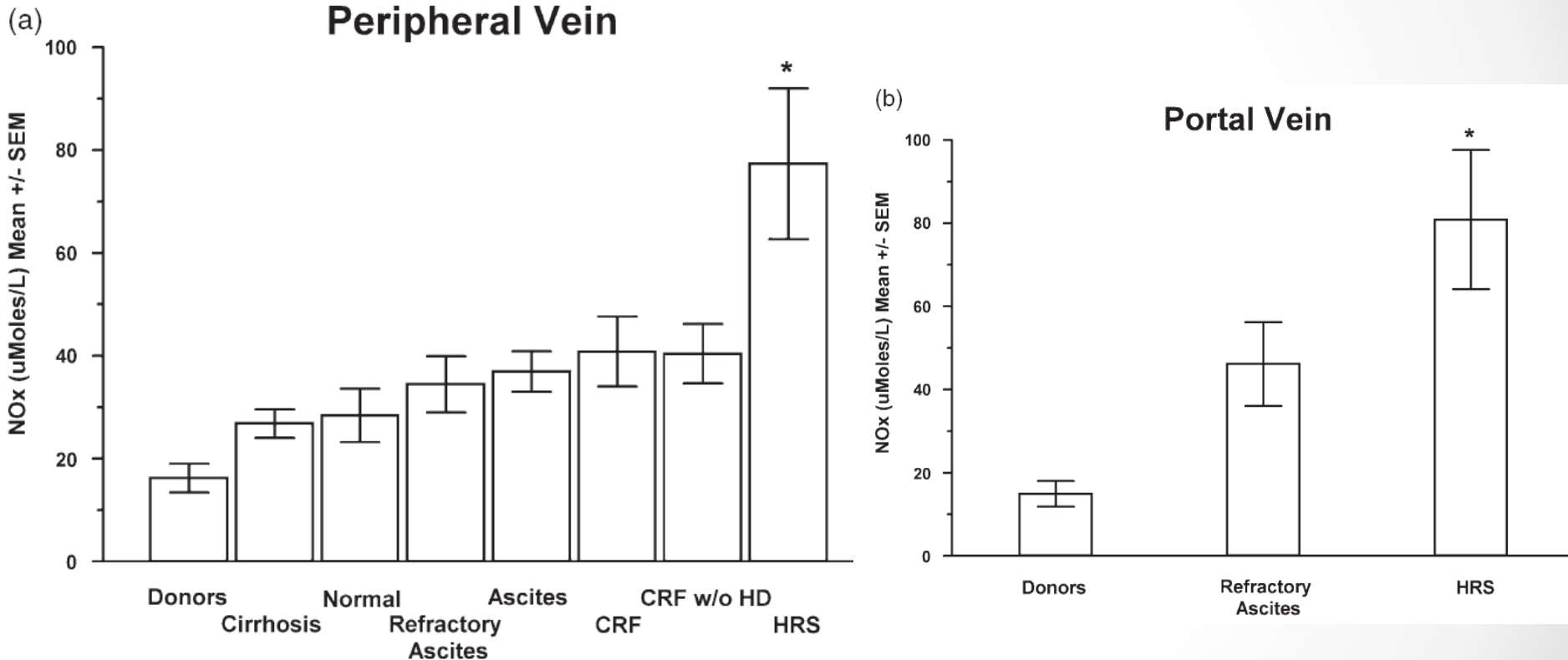
Enhanced vasodilative response to a nitric oxide–dependent vasodilator^{66*}

Increased plasma concentrations of nitric oxide and its metabolites^{66-68*}

Increased nitric oxide in exhaled air^{69,70*}

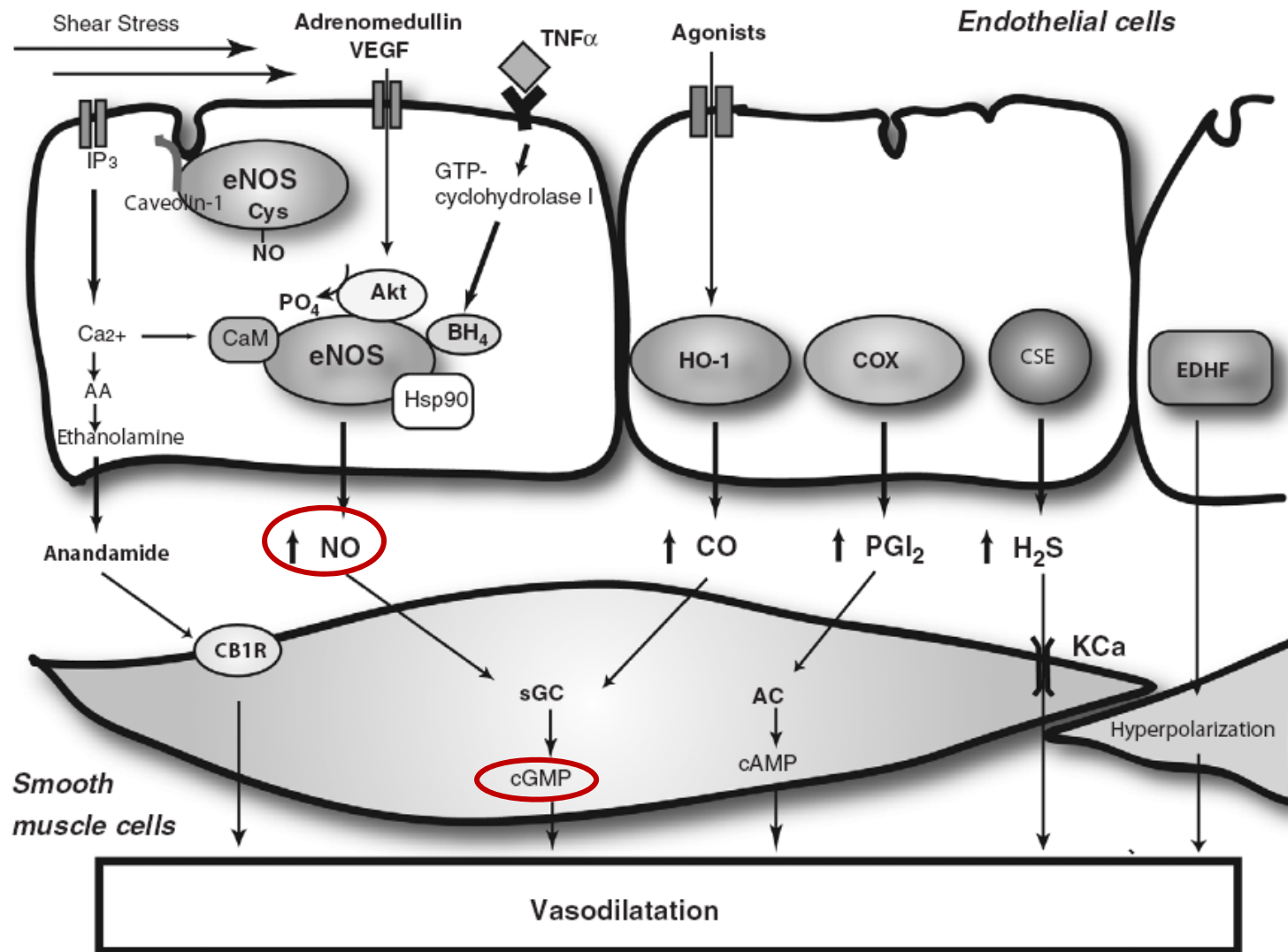
Increased nitric oxide synthase activity in polymorphonuclear cells and monocytes^{71,72}

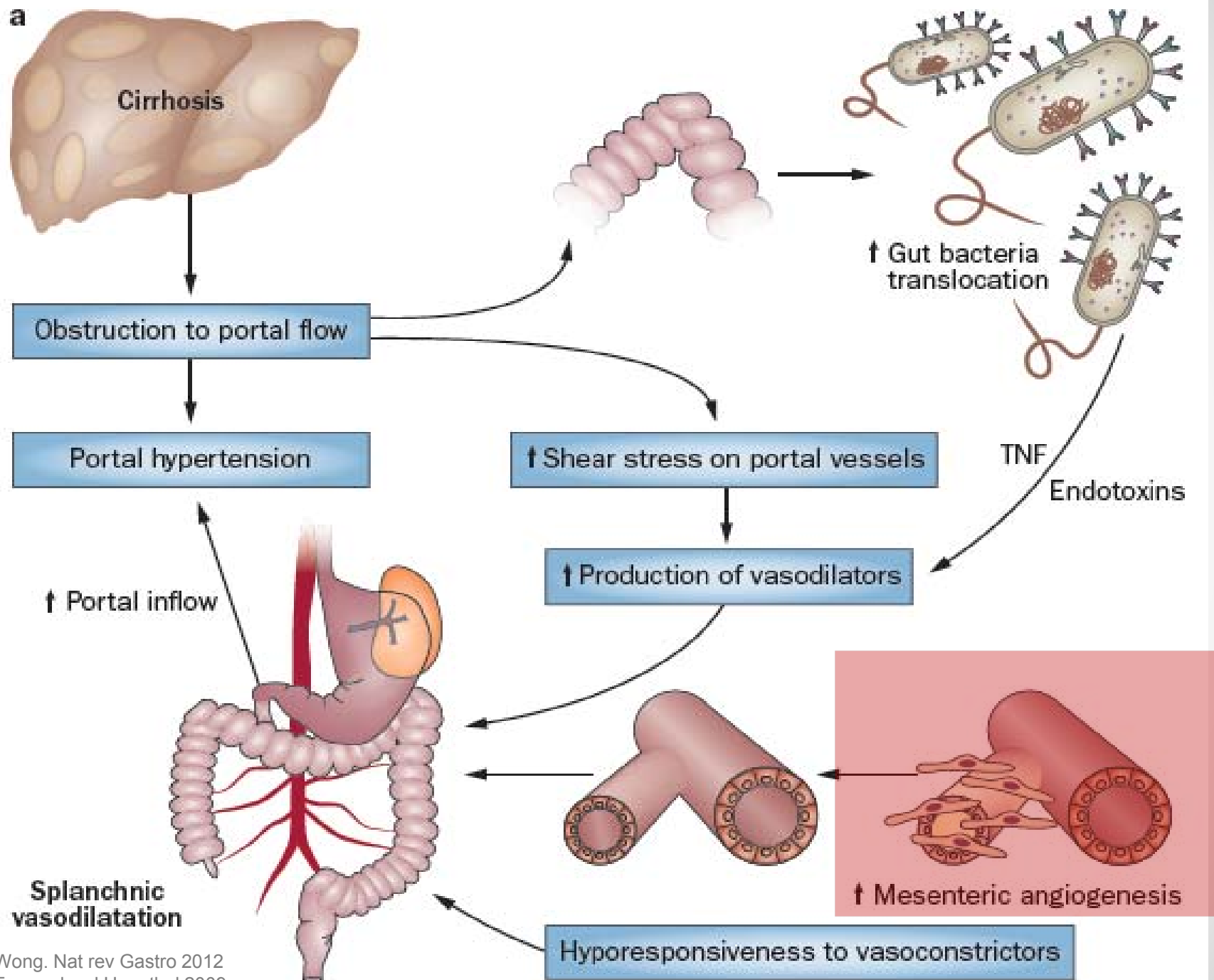
↑ NO plasmatique chez l'homme



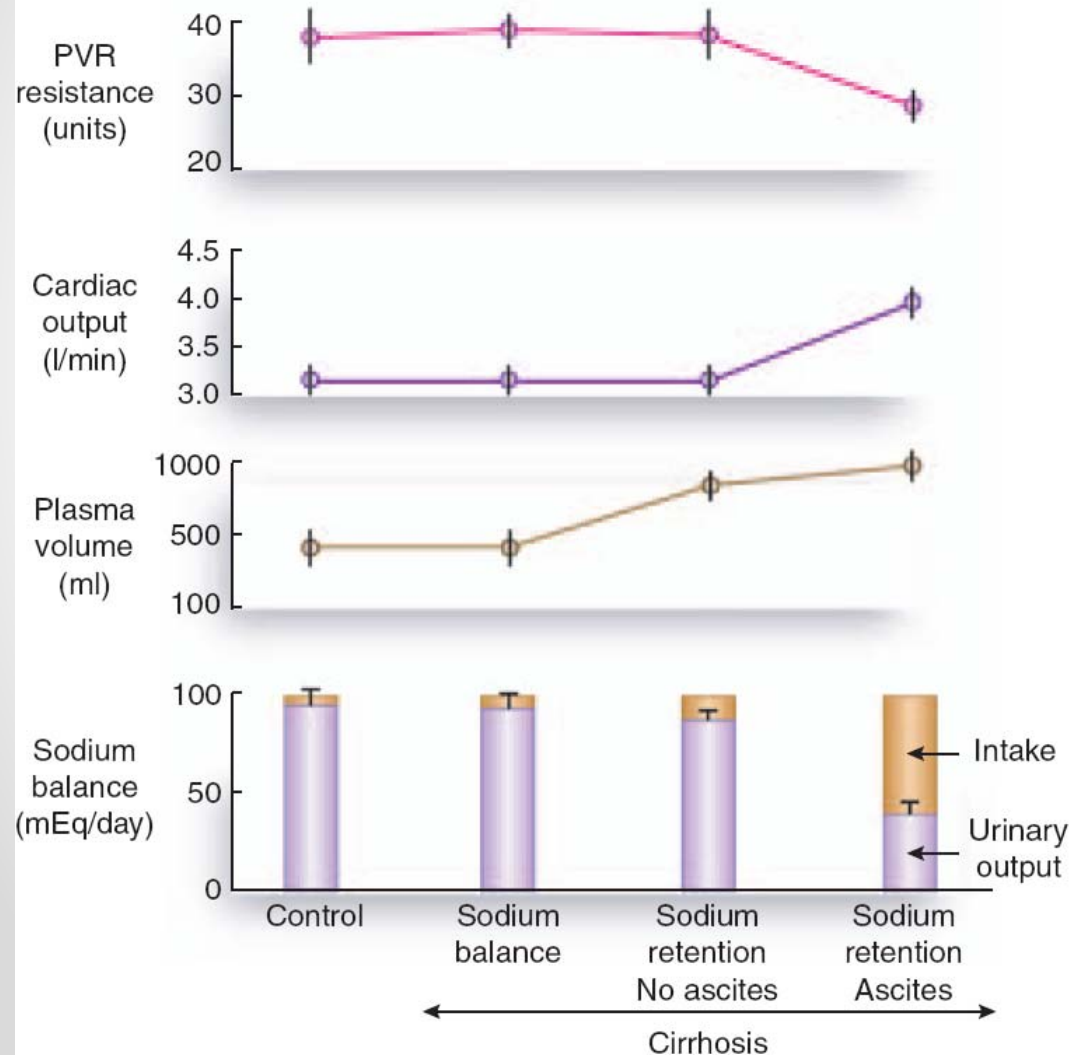
Increased plasma nitric oxide, L-arginine, and arginase-1 in cirrhotic patients with progressive renal dysfunction

Mécanismes vasodilatation





Vasodilatation et rétention hydrosodée: cause ou conséquence?



Pas de démonstration définitive que la vasodilatation précède clairement la rétention sodée

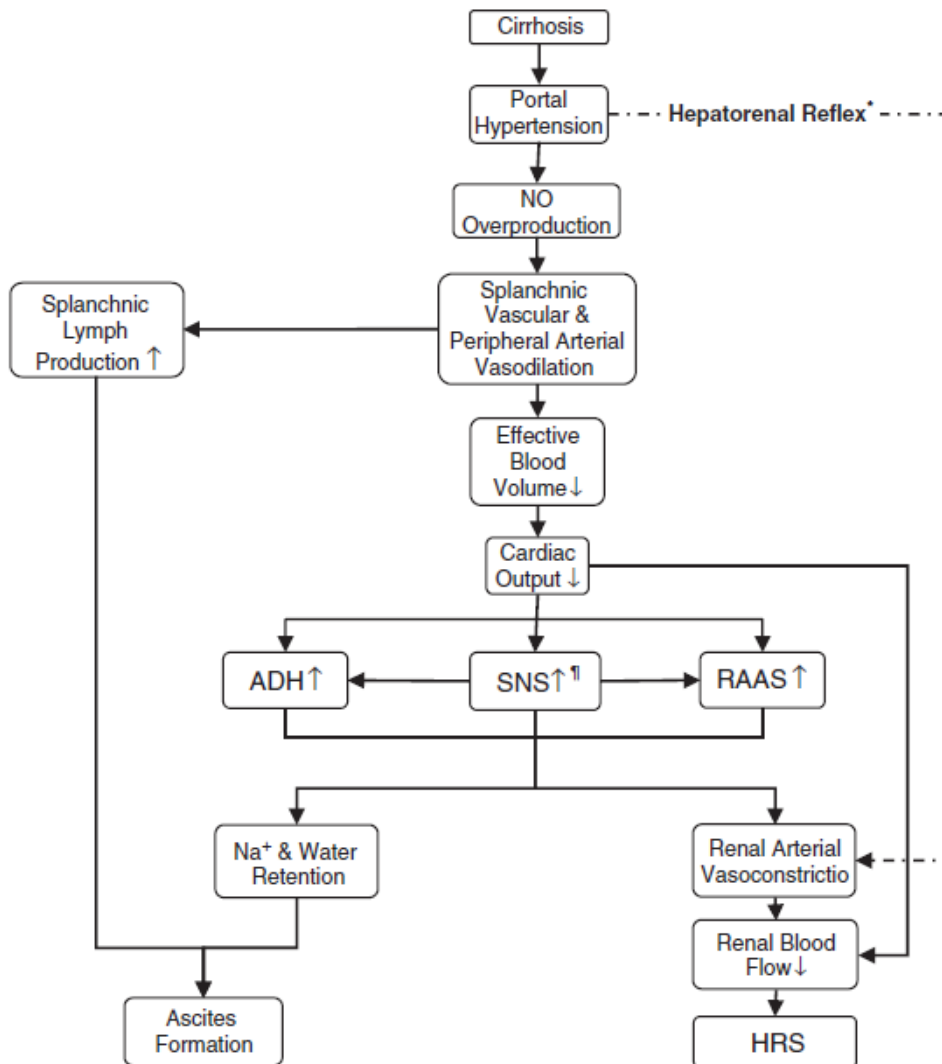
Méthodologie très imprécise car basée sur l'évaluation des réponses efférentes.

Pas de bonnes caractérisations afférences (type, molécule, etc.)

L'administration de volume entraîne une vasodilatation.

Les états de rétention hydrosodée sont en moyenne des états avec une vasodilatation systémique.

Réflexe hépato-rénal?



Barorécepteurs hépatiques régulent activité SNS rénal.

Œdème hépatique ↓ flux rénal *mais* inhibé si dénervation foie/rein.

Charge sodée ↑ENa et ↓ activité SNS rénal *mais* inhibé si dénervation foie.

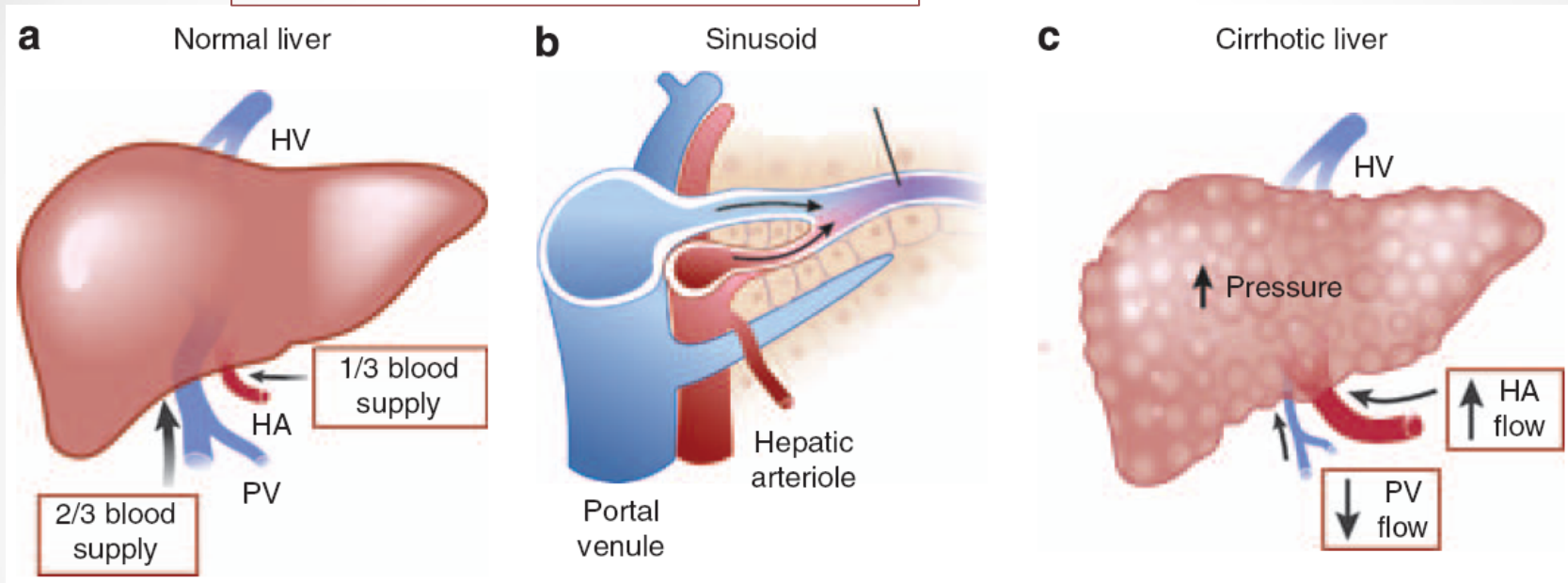
↑ P hépatique avec ou sans cirrhose → rétention hydrosodée.

Animaux cirrhotiques dénervés développement oedèmes plus lentement

Transplantés hépatiques sans anomalies rénales développent moins d'oedèmes

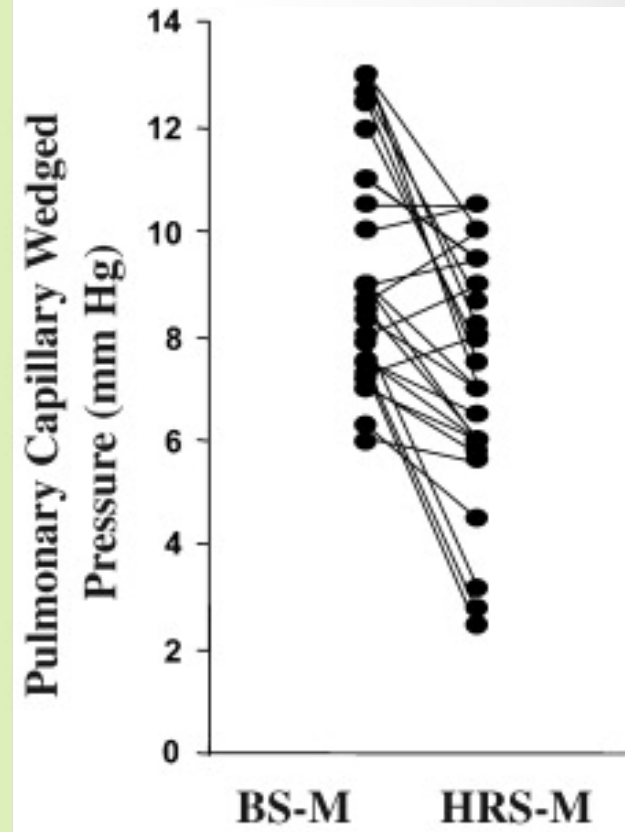
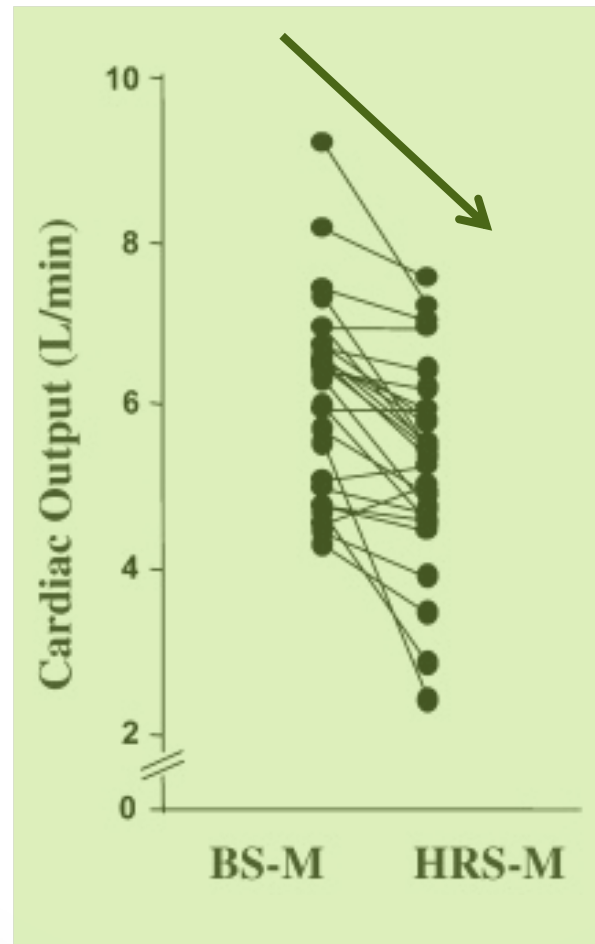
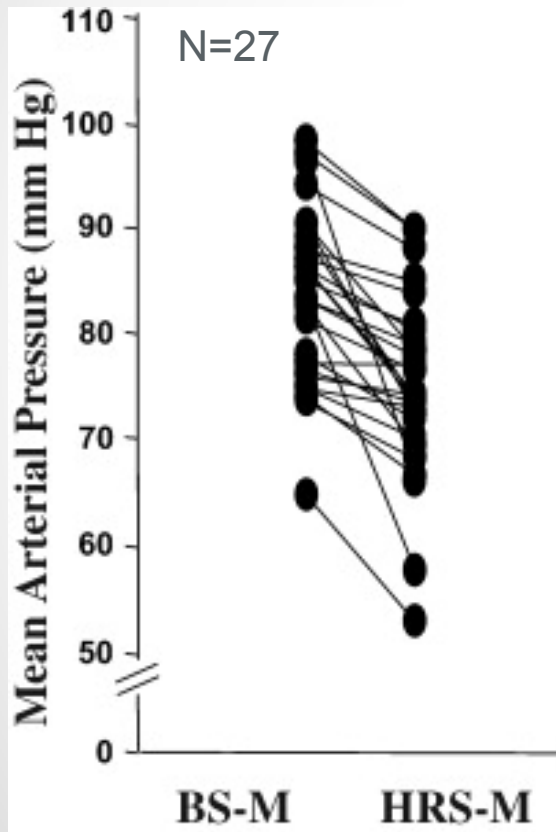
Nature et localisation réflexe hépato-rénal?

2 circulations (porte PV et artérielle HA) avec P différentes



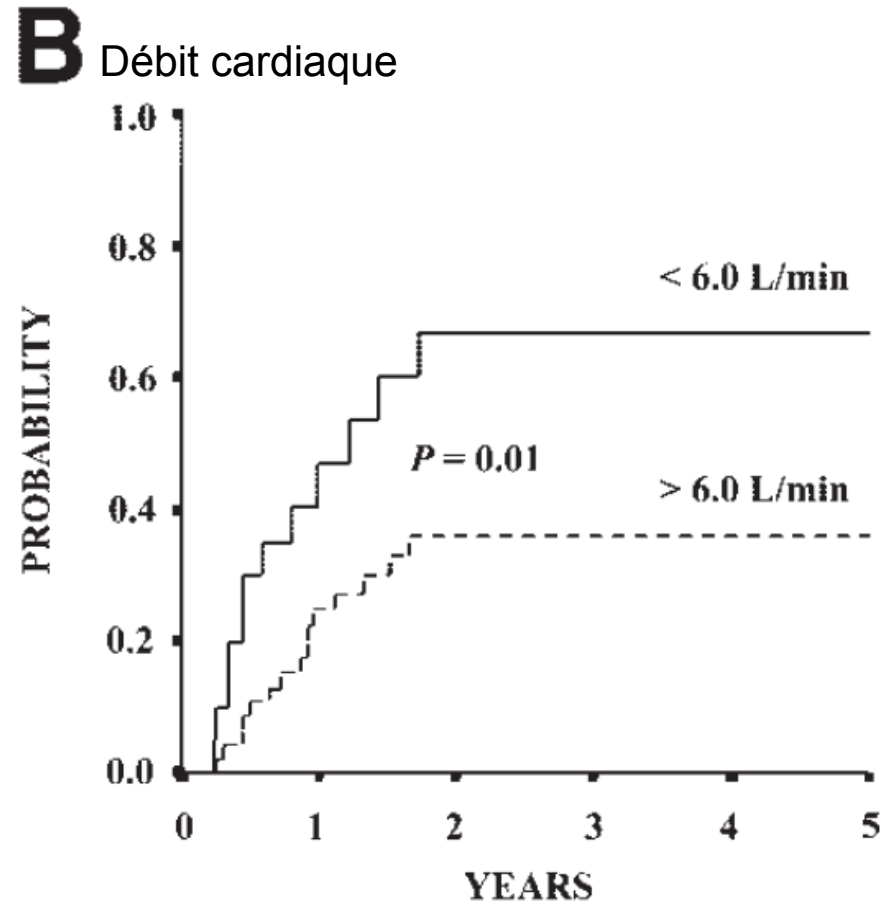
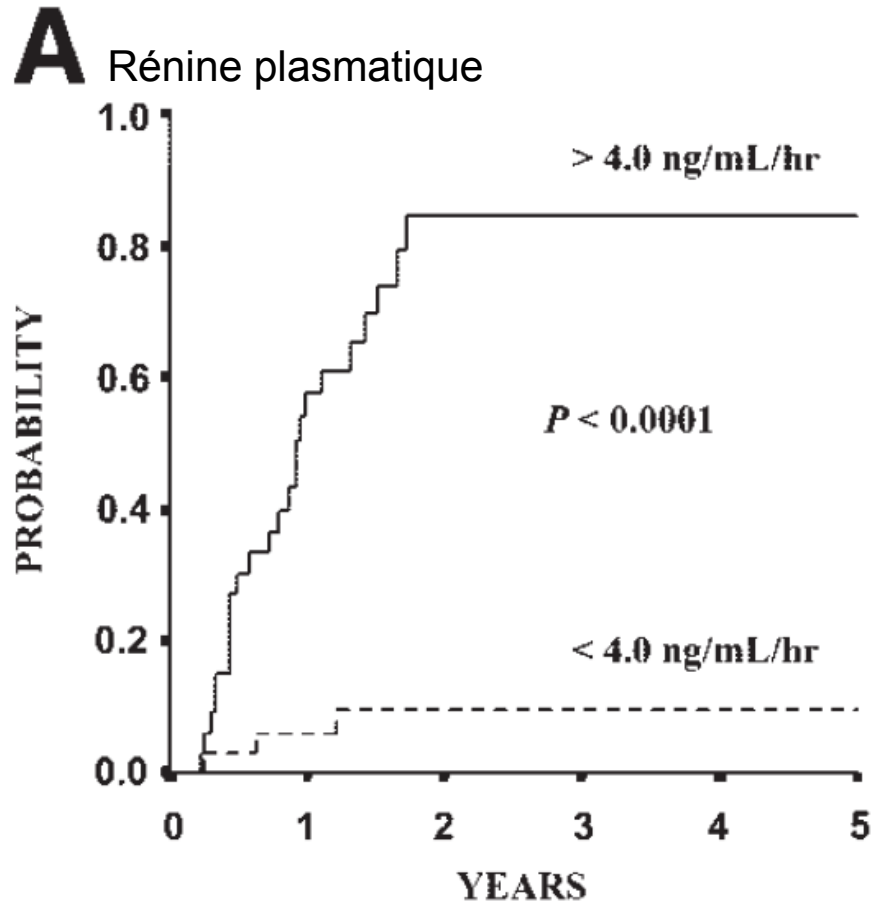
- Nature moléculaire inconnue
- Senseurs afférents probablement au niveau de circulation sinusoidale ou postsinusoidale. La rétention hydrosodée corrèle avec \uparrow de ces pressions dans la cirrhose.
- A. hépatique est capable d'auto-régulation dans sa réponse volume/pression: vasodilatation lors de chute de P pour maintenir flux.
- Vasodilatation a. hépatique si chute de flux portal \rightarrow senseur a. hépatique?

Dysfonction cardiaque dans cirrhose



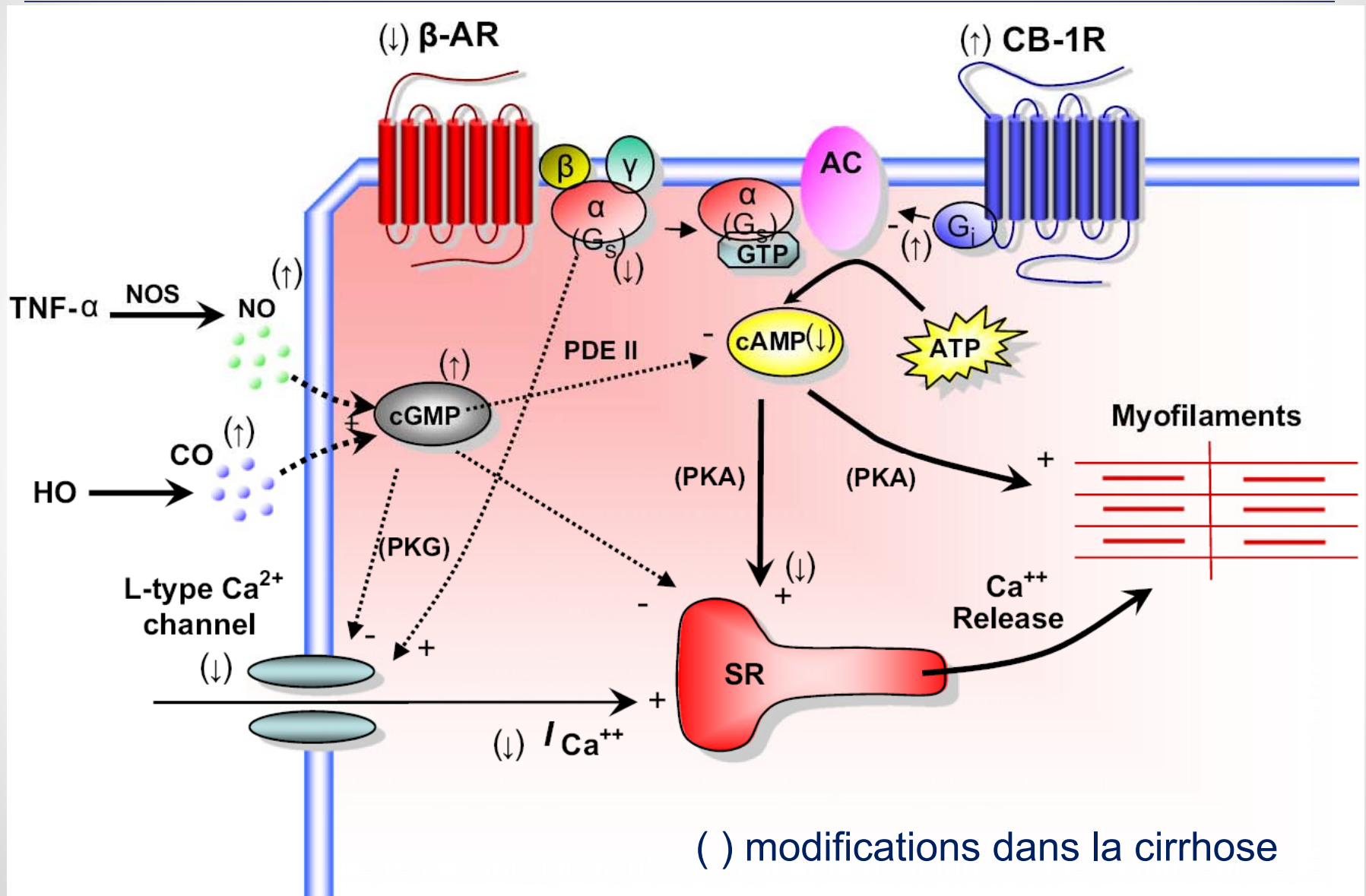
Chute du Débit cardiaque lors de développement SHR

Développement SHR selon taux de rénine et débit cardiaque



Taux rénine + élevé mais débit cardiaque + bas chez patient développant SHR

Régulation contractilité cardiomyocyte



Mécanismes potentiels dysfonction cardiaque

Changes in receptor affinity

- Down regulation and desensitisation of myocardial β -adrenergic receptors
- Upregulation of cannabinoid 1-receptor stimulation [32]

Changes in intracellular signalling

- Changed expression of regulators of G-protein signalling [24,30]
- Changed adenylyclase inhibition or stimulation [29]
- Over-expression of regulators of G-protein signalling [36]

Changes in ion fluxes

- Altered function and reduced conductance of potassium channels [66]
- Inhibition of L-type calcium channels [26]

Contractility defects

- Overexpression of the β -myosin heavy chain [29]
- Altered ratio of collagens and titans [24]

Biochemical changes

- Increased inhibitory effects of haemeoxygenase and carbon monoxide [5]
- Nitration of proteins [28]
- Increased nitric oxide synthase-induced nitric oxide release [33]
- Increased tumour necrosis factor- α release [5]
- Increased fluidity of the plasma membrane [27]
- Increased cholesterol/phospholipid ratio [5,29]

Critères diagnostics cardiomyopathie-cirrhotique

A cardiac dysfunction in patients with cirrhosis characterised by impaired contractile responsiveness to stress and/or altered diastolic relaxation with electrophysiological abnormalities in the absence of other known cardiac disease

Diagnostic criteria

Systolic dysfunction

- Blunted increase in CO with exercise, volume challenge or pharmacological stimuli
- Resting EF < 55%

Diastolic dysfunction

- E/A ratio < 1.0 (age-corrected)
- Prolonged deceleration time (> 200 ms)
- Prolonged isovolumetric relaxation time (> 80 ms)

Supportive criteria

- Electrophysiological abnormalities
- Abnormal chronotropic response
- Electromechanical uncoupling/dyssynchrony
- Prolonged Q-Tc interval
- Enlarged left atrium
- Increased myocardial mass
- Increased BNP and pro-BNP
- Increased troponin I

Rôle insuffisance surrénalienne

CRH

ACTH

—

Cirrhosis,
inflammation, sepsis,
cytokines - potential
factors leading to RAI

Relative adrenal
insufficiency (RAI)

9-12%

Glucocorticoids ↓

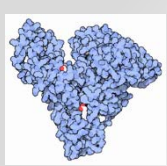
Mineralocorticoids ↑

—



Cardiac effects of adrenal insufficiency:
LV systolic dysfunction
QT prolongation
Diastolic dysfunction?†

Cardiac effects of hyperaldosteronism:
Degradation of interstitial matrix
Cardiomyocyte apoptosis

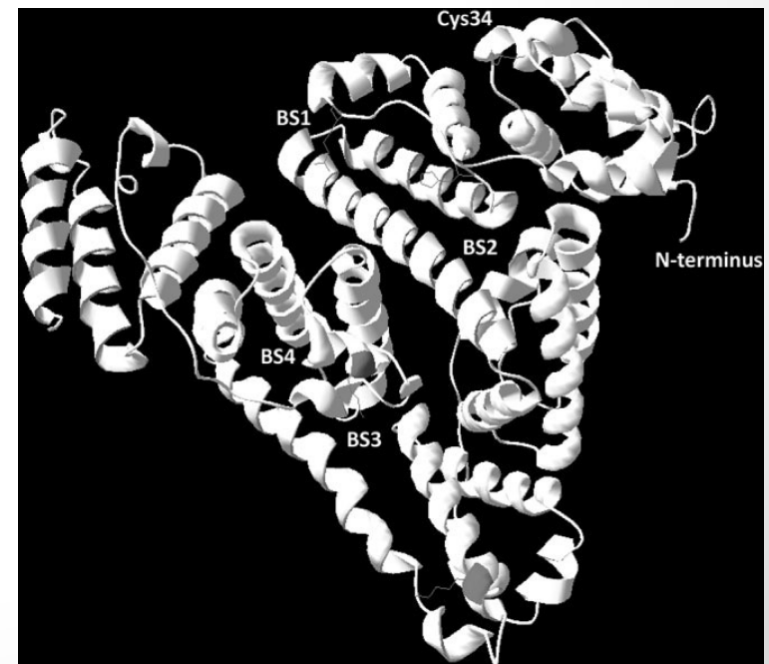


Perte de la capacité fonctionnelle de l'albumine

Albumine → transport molécules hydrophobiques, acides gras, hormones, substances toxiques, médicaments, anti-oxydant...

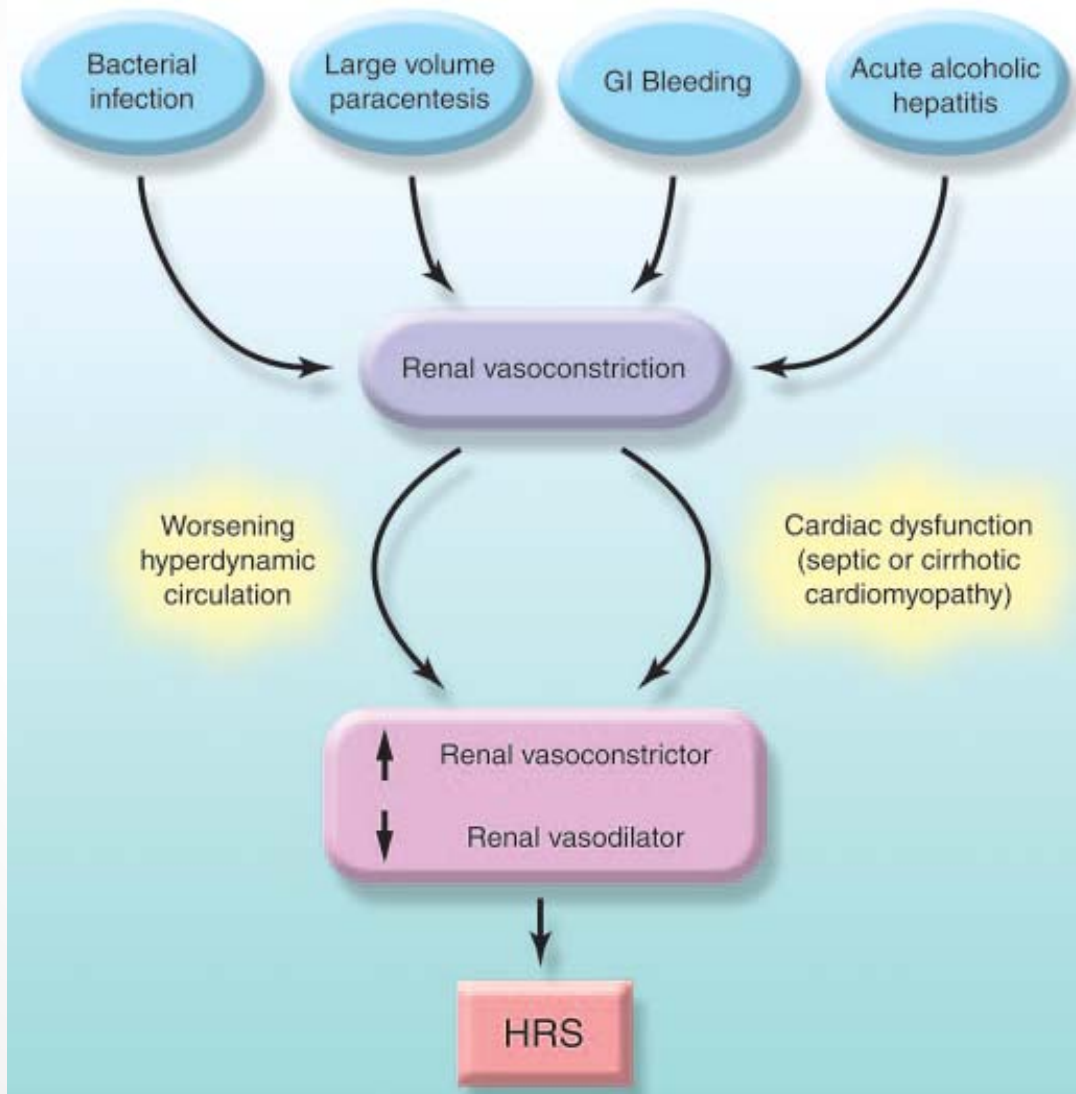
Dans la cirrhose : ↓ synthèse, ↓ capacité transport et ↓ anti-oxydant

Measure	Healthy	Cirrhosis, No Organ Dysfunction (n = 12)	ACLF (n = 22)
EPR spectroscopy			
Binding coefficient (high-affinity K_{B1})	97.4 (15.6)	27.5 (5.6)*	17.9 (3.5)*
Number of labels (high-affinity site, N1)	3.1 (0.1)	2.4 (0.1)	2.5 (0.9)
Binding coefficient (low-affinity K_{B2})	58.3 (11)	20.1 (3.1)*	14.1 (1.8)*,†
Number of labels (low-affinity site, N2)	2.9 (0.2)	3.1 (0.1)	2.6 (0.1)*,†
Calculated real transport efficiency	75 (6.9)	27.5 (5.1)*	14.3 (1.9)*,†
Calculated detoxification efficiency	120 (33)	28.2 (5.3)*	11.6 (2.6)*,‡
Effective albumin	50.26 (3.02)	25.6 (3.1)*	20.98 (2.2)*
IMA	0.69 (0.034)	0.64 (0.022)	0.64 (0.017)
IMAR	0.010 (0.001)	0.021 (0.001)	0.03 (0.002)*,‡

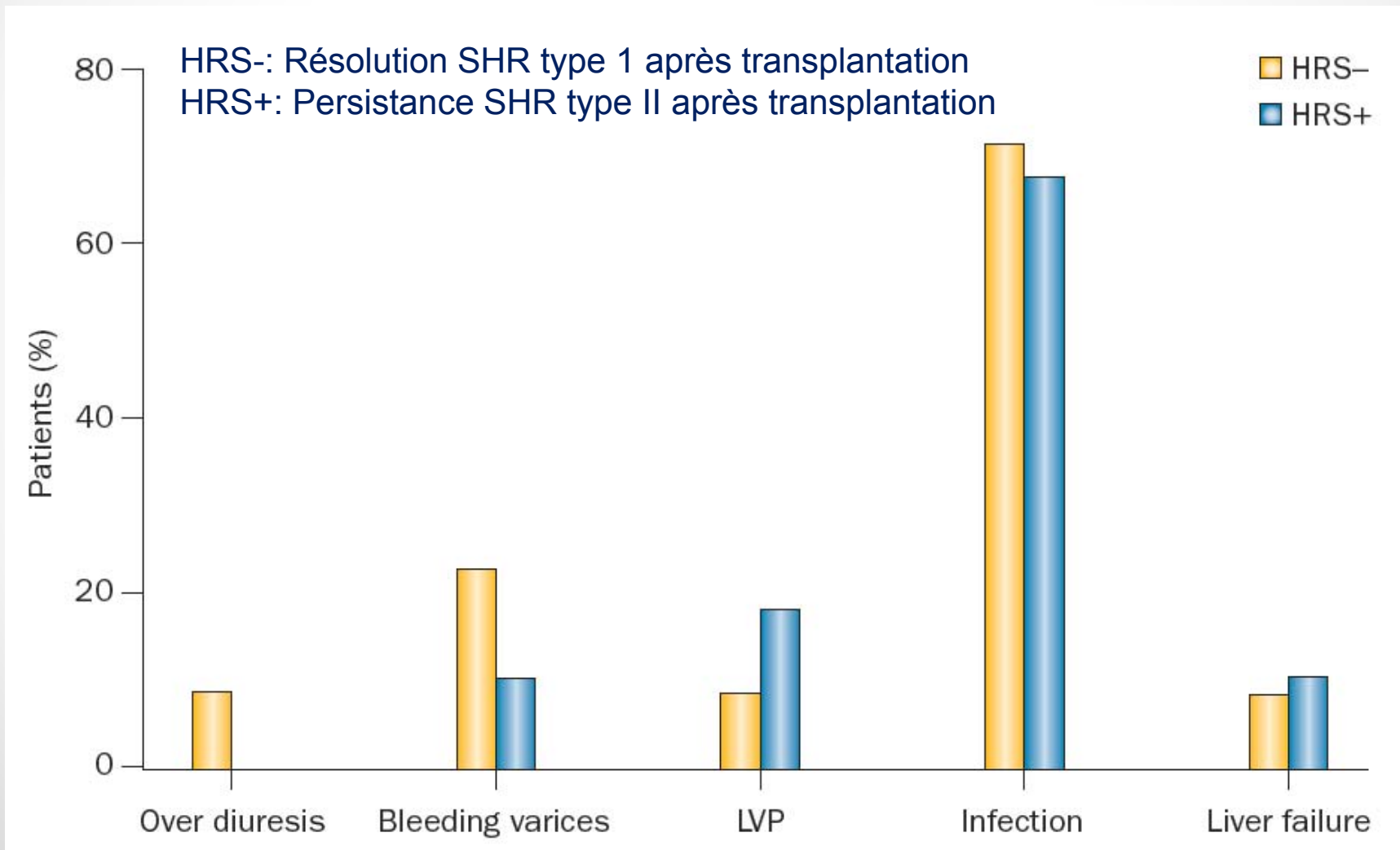


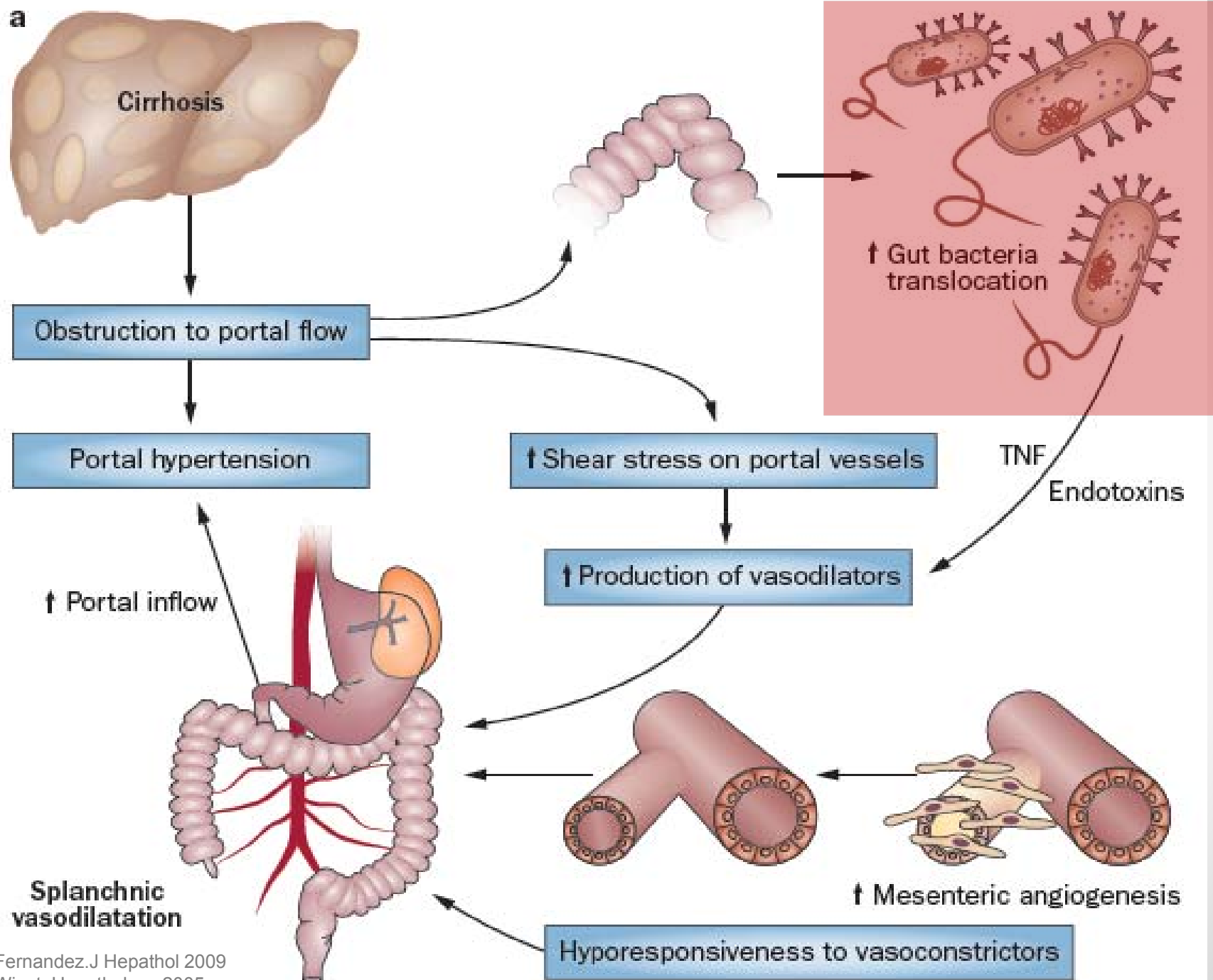
Facteurs déclenchant SHR

AINS !

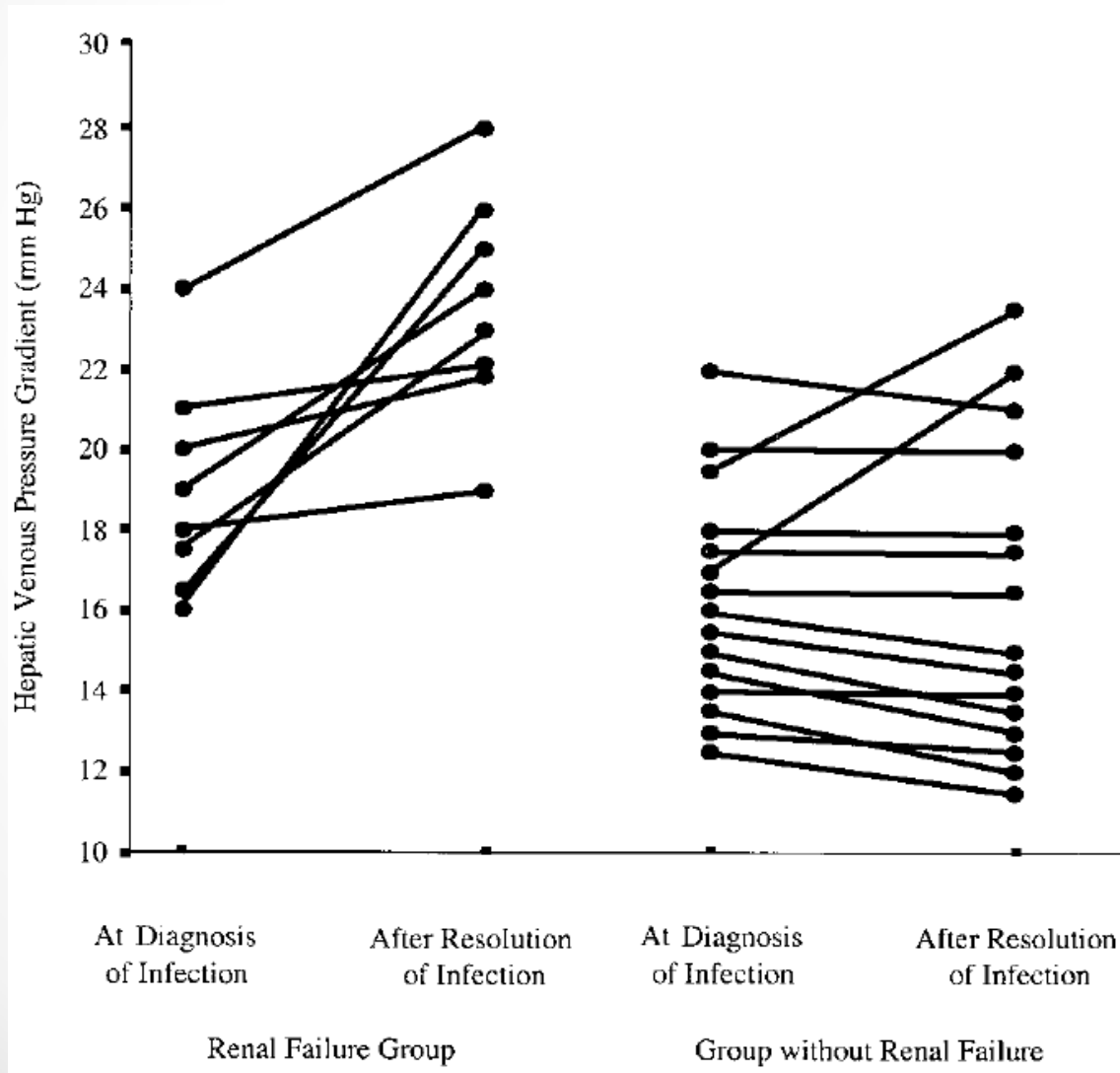


Facteurs déclenchant SHR

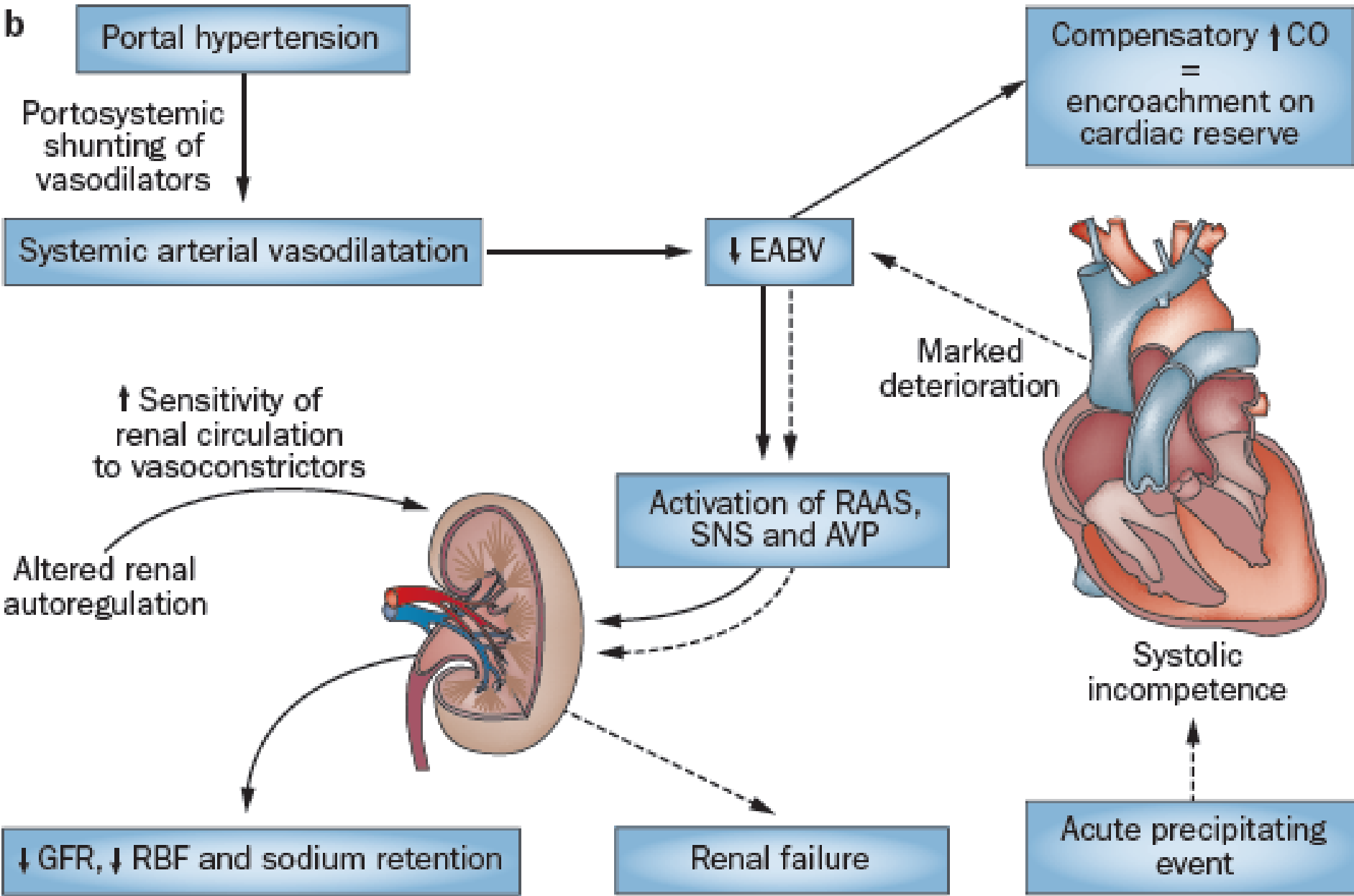




Pression hépatique ↑ avec PBS



b



Portal hypertension

Portosystemic shunting of vasodilators

Systemic arterial vasodilatation

↓ EABV

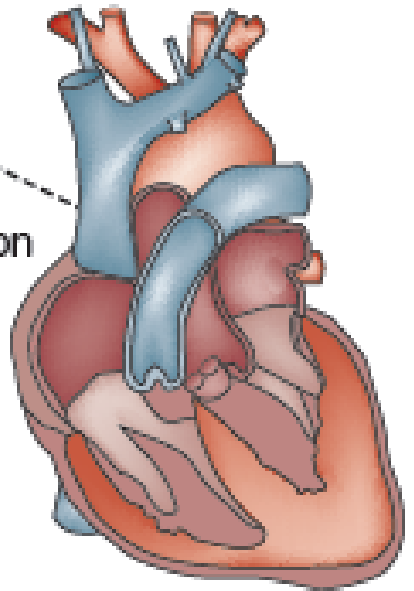
Compensatory ↑ CO = encroachment on cardiac reserve

↑ Sensitivity of renal circulation to vasoconstrictors

Altered renal autoregulation

Activation of RAAS, SNS and AVP

Marked deterioration



Systolic incompetence

↓ GFR, ↓ RBF and sodium retention

Renal failure

Acute precipitating event



Conclusions (I)

- Le SHR se caractérise par une vasoconstriction rénale intense en réponse à une baisse des résistances systémiques, principalement dues à une vasodilatation artérielle splanchnique
- Parmi les médiateurs impliqués dans la vasodilatation splanchnique, une production accrue de NO joue un rôle essentiel.
- Cette production accrue de NO s'accompagne de défauts des mécanismes de vasoconstriction qui touchent les voies de signalisation du muscle lisse
- La cause de cette production accrue est inconnue et de nouvelles pistes notamment au niveau de la circulation hépatique devrait être explorées.

Conclusions (II)

- Parmi les éléments associés au développement du SHR on retient une **cardiomyopathie cirrhotique**.
- Une **insuffisance surrénalienne** contribue à la dysfonction
- Une altération des fonctions **détoxifiantes et antioxydantes de l'albumine** doit également être évoquée.
- Un **épisode infectieux digestif** (translocation bactérienne) est le mécanisme déclencheur le plus fréquent et le plus probable.

Wong F. Nat Rev Gastroenterology 2012(9): 382-391

Oliver J. Kidney International 2010(77): 669-680

Moler S. New insights into cirrhotic cardiomyopathy. International J Cardiology 2012

Gines P. Renal failure in cirrhosis. NEJM 2009; 361(13):1279-1290